









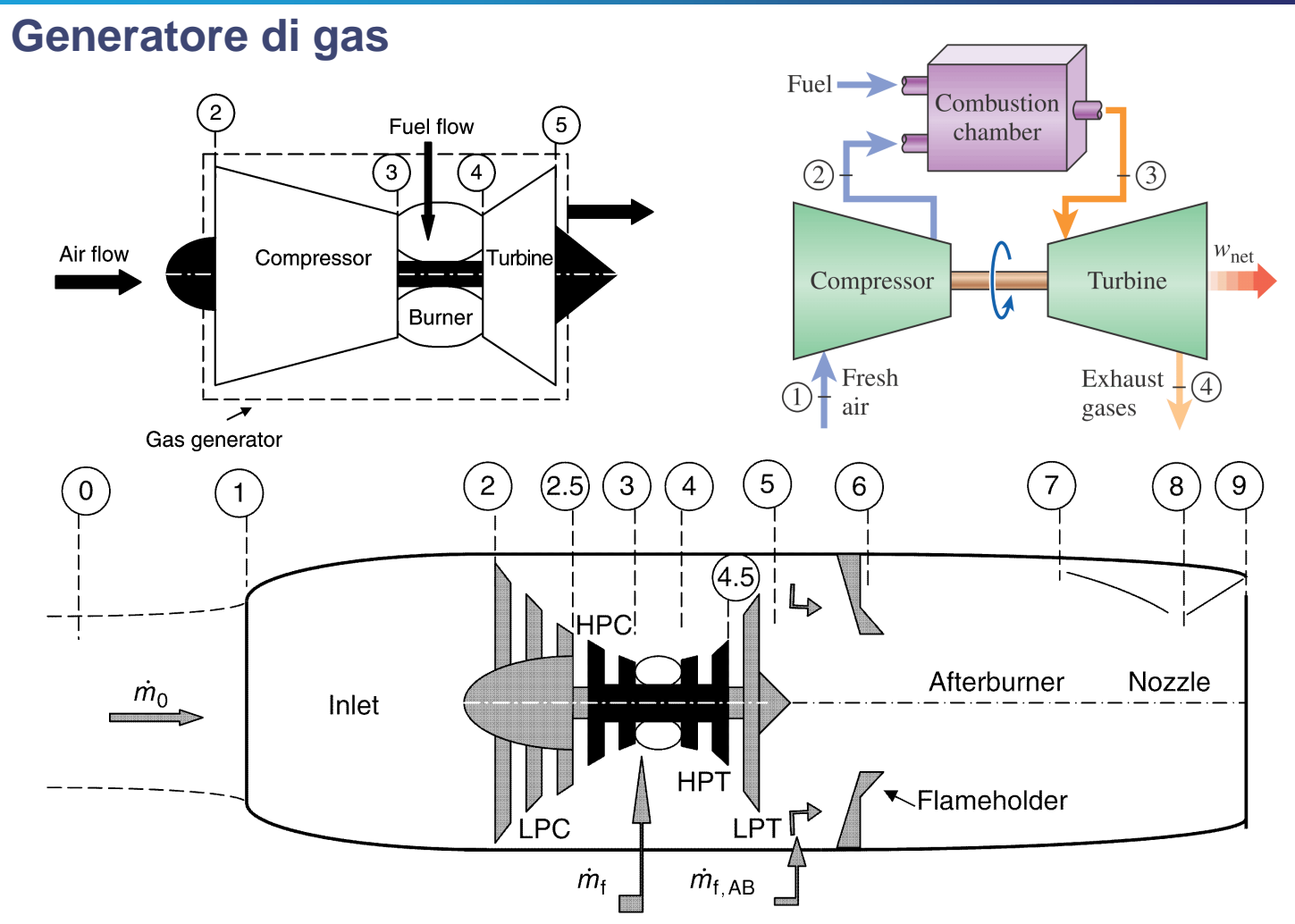
### UNIVERSITY OF NAPLES FEDERICO II 1224 A.D.

# **Propulsione Aerospaziale**

#### T. Astarita

astarita@unina.it www.docenti.unina.it

Versione del 23.4.2024

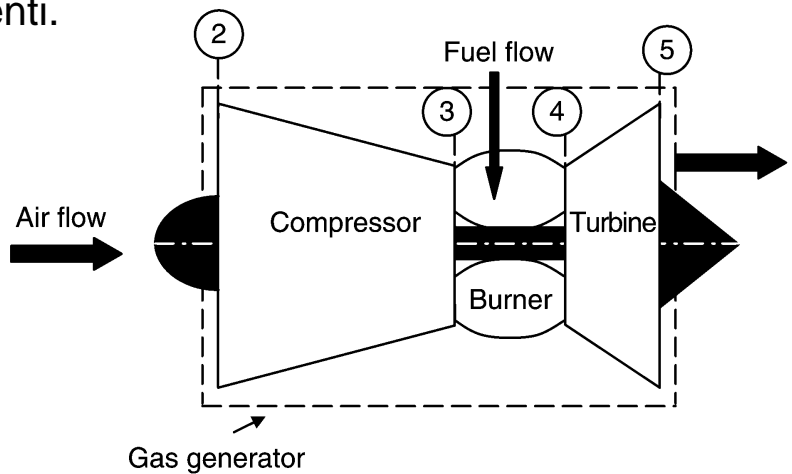


### Generatore di gas

I parametri fondamentali di un generatore di gas sono:

- Il rapporto di compressione del compressore  $\pi_c = \frac{p_{t3}}{p_{t2}}$ ;
- La **portata di aria** nel compressore  $\dot{m}_0 \left[ \frac{kg}{s} \right]$ ;
- La portata di combustibile  $\dot{m}_f$  o la temperatura all'ingresso della turbina  $T_{t4}[K]$ ;
- Il **potere calorifico** del combustibile  $Q_R\left[\frac{kJ}{kg}\right]$ ;

I rendimenti dei singoli componenti.

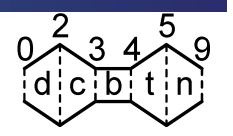




Propulsione Aerospaziale – PA3 Ciclo TJ - astarita @unina.it

3

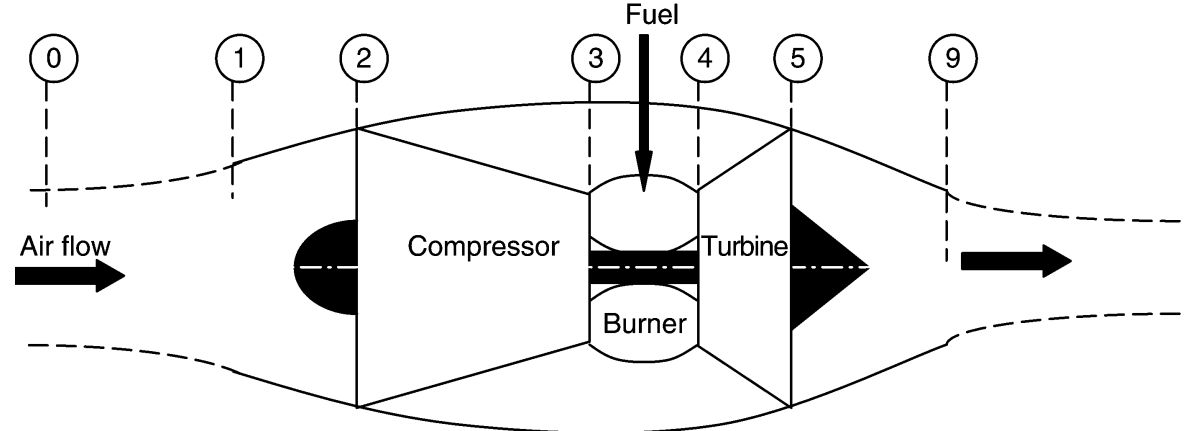
# **Turbogetto**



### I componenti di un turbogetto sono:

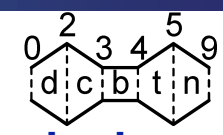
- Presa d'aria (PA);
- Compressore;
- Camera di combustione (CC);
- Turbina;
- Ugello.

In questa prima fase questi **componenti** verranno esaminati solo da un punto di vista **termodinamico**.





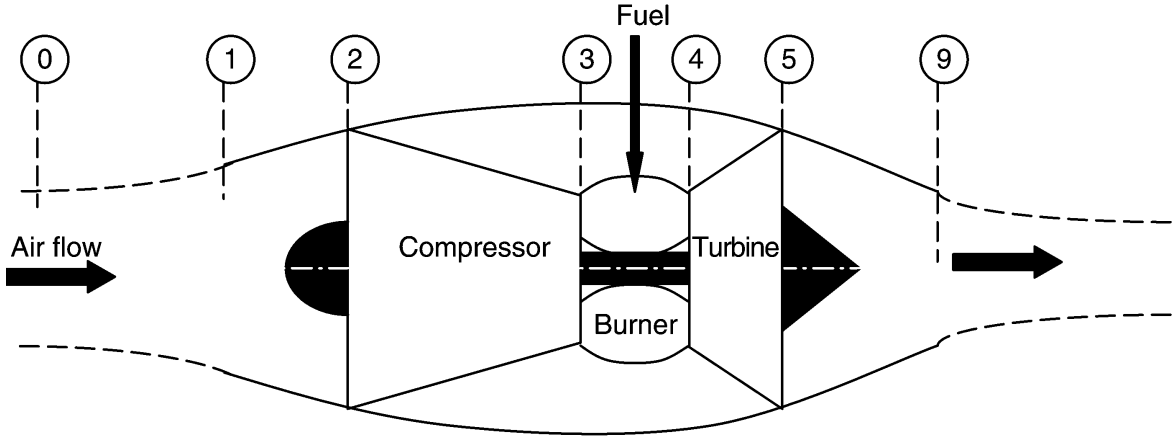
### Generatore di gas



Per semplificare la trattazione si utilizzeranno le seguenti notazioni:

$$k = \frac{\gamma - 1}{\gamma} \qquad \qquad \psi = 1 + \frac{\gamma - 1}{2} M^2 = \frac{T_t}{T} = \frac{h_t}{h} \qquad \qquad \theta = \frac{h_t}{h_0}$$

mentre con  $\pi e \tau$  si indicano i **rapporti** di **pressione** e **entalpia** (tendenzialmente totali) valle-monte dei singoli componenti.

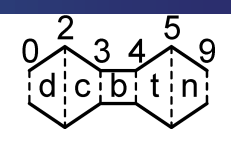




Propulsione Aerospaziale – PA3 Ciclo TJ - astarita @unina.it

5

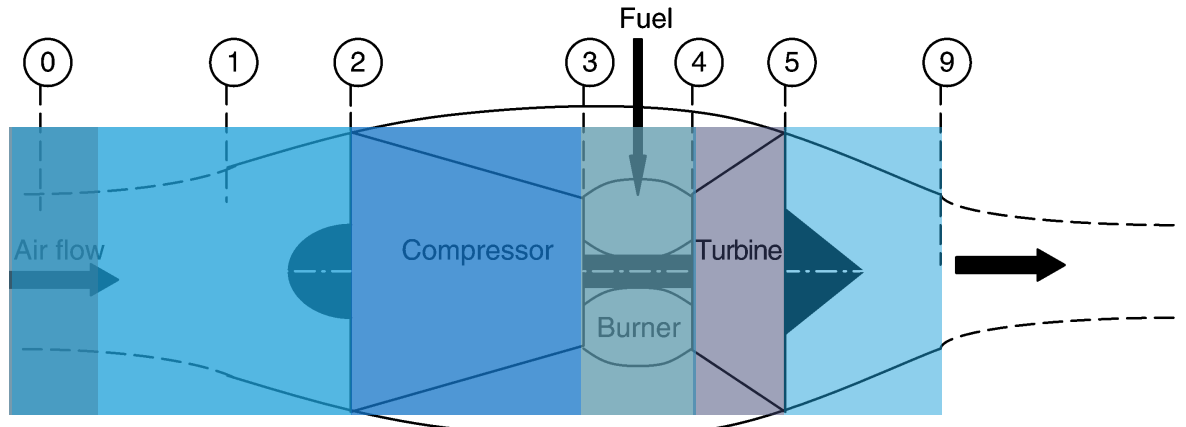
# Generatore di gas

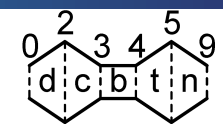


In dettaglio:

$$\begin{aligned} &\tau_r = \frac{h_{t0}}{h_0} & \tau_d = \frac{h_{t2}}{h_{t0}} & \tau_c = \frac{h_{t3}}{h_{t2}} & \tau_b = \frac{h_{t4}}{h_{t3}} & \tau_t = \frac{h_{t5}}{h_{t4}} & \tau_n = \frac{h_{t9}}{h_{t5}} \\ &\pi_r = \frac{p_{t0}}{p_0} & \pi_d = \frac{p_{t2}}{p_{t0}} & \pi_c = \frac{p_{t3}}{p_{t2}} & \pi_b = \frac{p_{t4}}{p_{t3}} & \pi_t = \frac{p_{t5}}{p_{t4}} & \pi_n = \frac{p_{t9}}{p_{t5}} \end{aligned}$$

Inoltre: 
$$\tau_{\lambda} = \theta_t = \theta_4 = \frac{h_{t4}}{h_0} = c_{pt} \frac{T_{t4}}{c_p T_0}$$







La funzione della **presa d'aria** (PA) è di **convogliare** il flusso nel compressore alla corretta velocità e con una **buona qualità** del flusso. Tipicamente i compressori assiali sono progettati per lavorare a Mach assiale di circa 0.5, **inferiore alla velocità di crociera** dei moderni velivoli.

La funzione della presa d'aria è normalmente di **decelerare** la corrente, quindi viene spesso chiamata **diffusore**. La decelerazione provoca un gradiente di pressione avverso che può provocare separazioni.

Il funzionamento della PA in condizioni ideali è adiabatico e reversibile. In condizioni reali la reversibilità viene a mancare ma l'ipotesi di adiabaticità è ragionevolmente soddisfatta.



Propulsione Aerospaziale – PA3 Ciclo TJ - astarita @unina.it

7

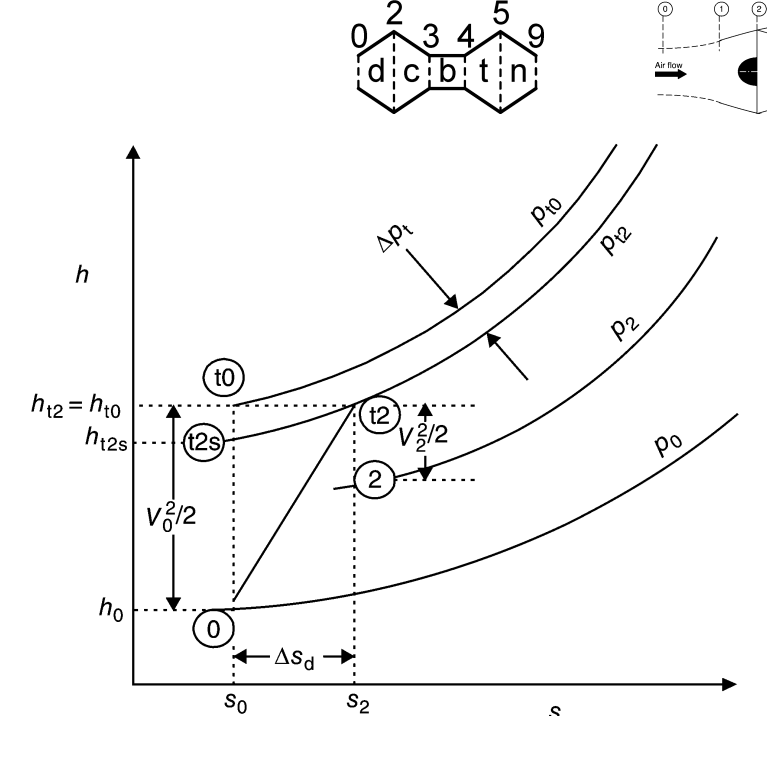
#### Presa d'aria

Visto che il processo è adiabatico la temperatura di ristagno passando dallo stato 0 al 2 rimane invariata ( $\tau_d = 1$ ).

A causa dei processi irreversibili è presente un aumento di **entropia**.

In figura sono anche indicati i punti di ristagno con il pedice t.

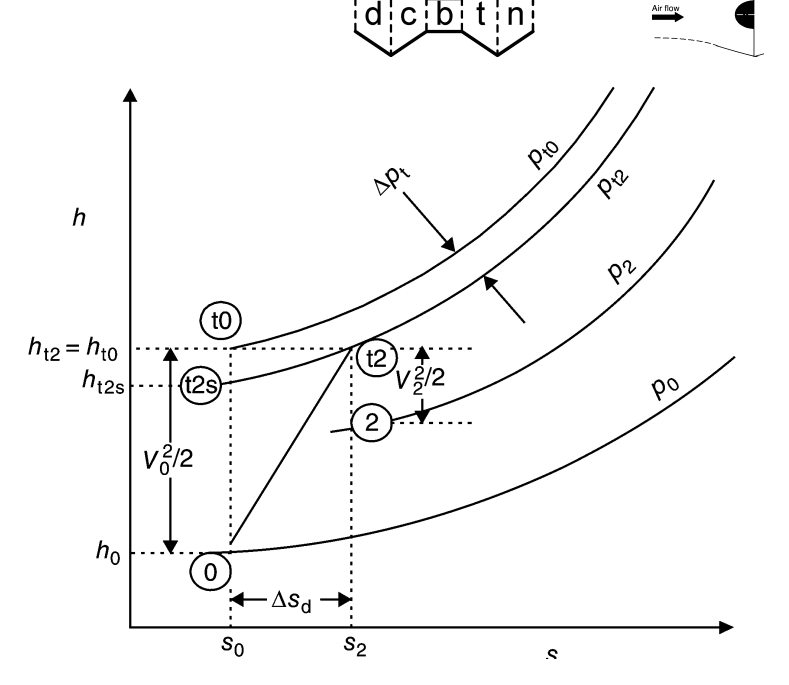
Inoltre è stato aggiunto il punto t2s alla stessa entropia iniziale ma alla pressione del punto t2.



Come si vede dalla figura una conversione **reversibile**  $(0 \rightarrow t0)$  dell'energia cinetica porterebbe ad una **pressione** di ristagno **maggiore** di quella raggiunta in un processo reale. Poiché il processo è adiabatico l'entalpia totale (di ristagno) rimane invariata  $(h_{t0} = h_{t2})$ .

Quindi se la trasformazione fosse reversibile si raggiungerebbe la pressione di ristagno t2 con una minore conversione di energia cinetica.

La differenza fra l'entalpia dei punti t0 e ts2 rappresenta proprio l'aliquota di energia cinetica che, a causa di irreversibilità è stata convertita inutilmente in energia termica.



Si può quindi definire un rendimento adiabatico del diffusore come:

$$\eta_d = \frac{h_{t2s} - h_0}{h_{t2} - h_0}$$



Propulsione Aerospaziale – PA3 Ciclo TJ - astarita @unina.it

q

#### Presa d'aria

ricordando che:  $p_{t2s}=p_{t2}$ ,  $h=c_pT$ ,  $T_t=T\left(1+\frac{\gamma-1}{2}M^2\right)=T\psi$  e per

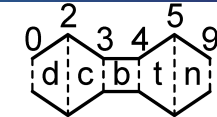
flussi isentropici  $\frac{T_1}{T_2} = \left(\frac{p_1}{p_2}\right)^{\frac{\gamma-1}{\gamma}} = \left(\frac{p_1}{p_2}\right)^k$  si ha:

$$\eta_d = \frac{h_{t2s} - h_0}{h_{t2} - h_0} = \frac{\frac{h_{t2s}}{h_0} - 1}{\frac{h_{t0}}{h_0} - 1} = \frac{\frac{T_{t2s}}{T_0} - 1}{\frac{T_{t0}}{T_0} - 1} = \frac{\left(\frac{p_{t2s}}{p_0}\right)^k - 1}{\tau_r - 1} = \frac{\left(\frac{p_{t2}}{p_0}\right)^k - 1}{\frac{\gamma - 1}{2}M_o^2}$$

dove si  $\tau_r$  è il **rapporto di temperatura** associato all'effetto dinamico (ram). L'equazione precedente risolta in termini di pressione da:

$$\frac{p_{t2}}{p_0} = \left(1 + \eta_d \frac{\gamma - 1}{2} M_0^2\right)^{1/k}$$

che chiaramente restituisce la relazione isentropica quando il rendimento è unitario.





Un ulteriore parametro che descrive le prestazioni della presa d'aria è il rapporto fra le pressioni di ristagno a monte del compressore e quella asintotica.

$$\pi_d = \frac{p_{t2}}{p_{t0}}$$

 $\frac{p_{t2}}{p_0} = \left(1 + \eta_d \frac{\gamma - 1}{2} M_0^2\right)^{1/k}$ 

chiaramente i due indici sono correlati:

$$\pi_d = \frac{p_{t2}}{p_0} \frac{p_0}{p_{t0}} = \left(\frac{1 + \eta_d \frac{\gamma - 1}{2} M_0^2}{1 + \frac{\gamma - 1}{2} M_0^2}\right)^{1/k} = \frac{\left(1 + \eta_d \frac{\gamma - 1}{2} M_0^2\right)^{1/k}}{\pi_r}$$

dove si  $\pi_r$  è il rapporto di pressione associato all'effetto di **pressione** dinamica (ram effect). Chiaramente al tendere del rendimento a uno anche  $\pi_d \to 1$ .



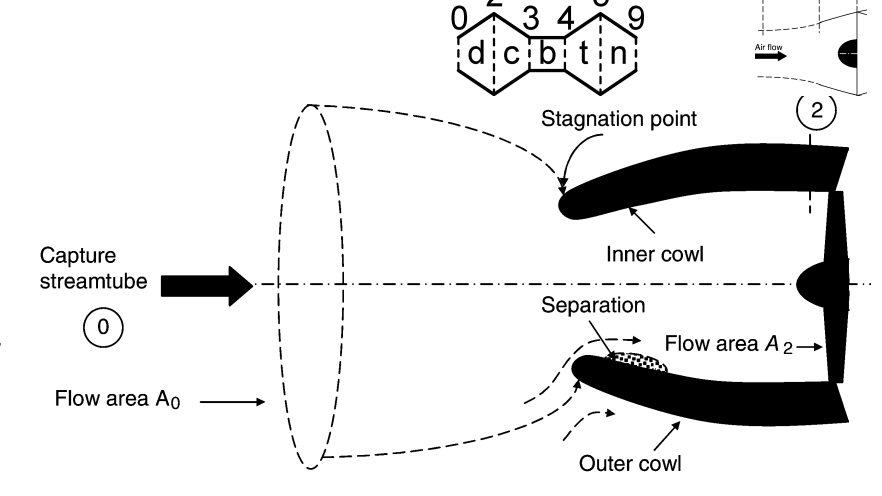
Propulsione Aerospaziale – PA3 Ciclo TJ - astarita @unina.it

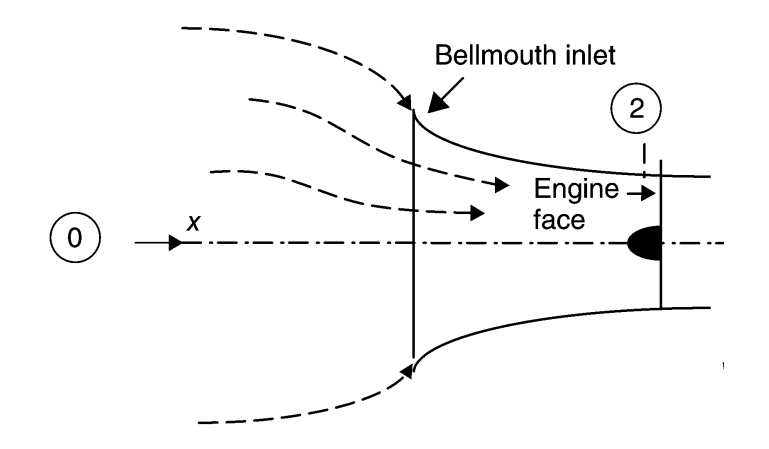
11

### Presa d'aria

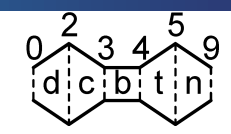
Evidentemente al punto fisso la situazione è completamente diversa.

Quando si effettuano prove del motore a terra, per evitare separazioni, conviene aggiungere un ugello convergente a monte della presa d'aria del motore.











#### Example 4.1

An aircraft is flying at an altitude where the ambient static pressure is  $p_0 = 10$  kPa and the flight Mach number is  $M_0 = 0.85$ . The total pressure at the engine face is measured to be  $p_{12} = 15.88$  kPa. Assuming the inlet is adiabatic and  $\gamma = 1.4$ , calculate

- (a) the inlet total pressure recovery  $\pi_d$
- (b) the inlet adiabatic efficiency  $\eta_d$
- (c) the nondimensional entropy rise caused by the inlet  $\Delta s_d/R$

#### SOLUTION

We first calculate the flight total pressure  $p_{\rm t0}$ , and from definition of  $\pi_{\rm d}$  (i.e., Equation 4.6), the inlet total pressure recovery.

$$p_{t0} = p_0 [1 + (\gamma - 1)M_0^2/2]^{\frac{\gamma}{\gamma - 1}} = 10 \text{ kPa} [1 + 0.2(0.85)^2]^{3.5}$$
  
= 16.04 kPa

$$\pi_{\rm d} \equiv p_{\rm t2}/p_{\rm t0} = 15.88/16.04 = 0.990$$

Inlet adiabatic efficiency  $\eta_d$  is calculated from Equation 4.4

$$\eta_{\rm d} = \left[ \left( \frac{p_{\rm t2}}{p_0} \right)^{\frac{\gamma - 1}{\gamma}} - 1 \right] / \left( \frac{\gamma - 1}{2} M_0^2 \right) \\
= \left[ (15.88/10)^{0.2857} - 1 \right] / [0.2(0.85)^2] \cong 0.9775$$

The entropy rise is linked to the inlet total pressure loss parameter  $\pi_d$  via Equation 4.2,

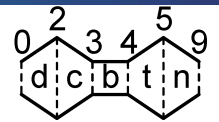
$$\Delta s_{\rm d}/R = -\ln(\pi_{\rm d}) = -\ln(0.99) \approx 0.010$$



Propulsione Aerospaziale - PA3 Ciclo TJ - astarita@unina.it

13

## Presa d'aria





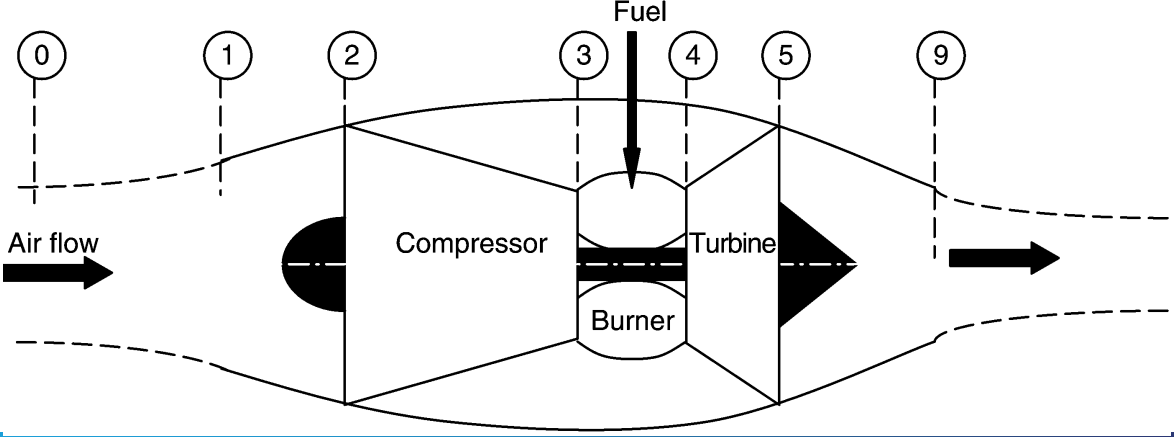
- the inlet flow may be considered to be adiabatic, that is,  $h_{t2} = h_{t0}$
- the inlet flow is always irreversible, that is,  $p_{t2} < p_{t0}$ , with viscous dissipation in the boundary layer and in a shock as the sources of irreversibility  $(s_2 > s_0)$
- there are two figures of merit that describe the extent of *losses* in the inlet and these are  $\eta_d$  and  $\pi_d$
- the two figures of merit are related (via Equation 4.6b)
- in cruise,  $A_0 < A_2$  and hence a diffusing passage and at low speed or takeoff,  $A_0 > A_2$ , that is, a nozzle
- the outer nacelle geometry of an inlet dictates the drag divergence and high angle of attack characteristics of the inlet and is crucial for the installed performance.



0 2 3 4 5 9 d c b t n

Il compressore è una macchina operatrice quindi fornisce energia nel modo lavoro al fluido e, chiaramente, necessità di un potenza esterna che normalmente viene fornita dalla turbina attraverso l'albero. All'avviamento il compressore deve essere alimentato da una fonte esterna.

Anche il funzionamento di un compressore reale è essenzialmente adiabatico. A causa delle elevate velocità gli effetti dissipativi associati agli sforzi viscosi e, eventualmente, alle onde d'urto non possono invece essere trascurati.

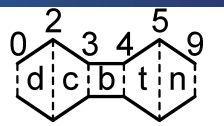




Propulsione Aerospaziale – PA3 Ciclo TJ - astarita @unina.it

15

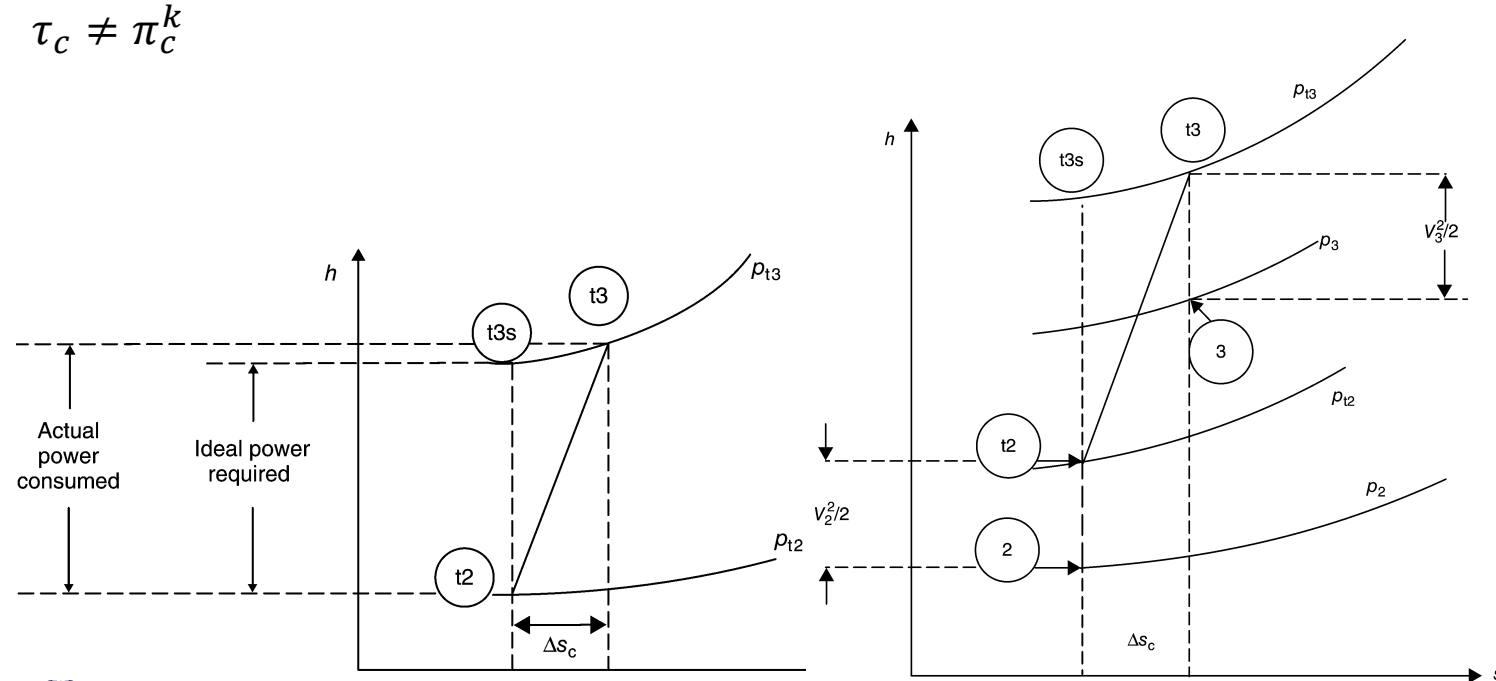
### Compressore

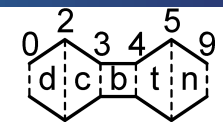




Dal punto di vista puramente termodinamico il comportamento di un **compressore** è molto **simile** al quello delle **prese d'aria**. Una differenza è che normalmente  $V_2 \cong V_3$ .

L'aumento di pressione non seguirà una isentropica, quindi:



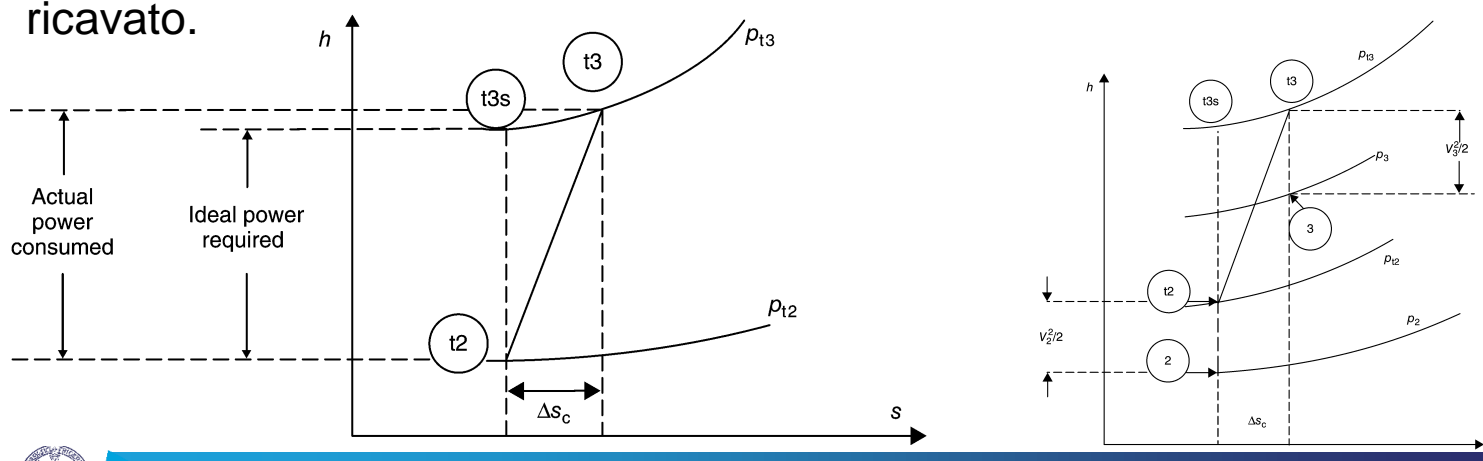




Si può quindi definire un **rendimento adiabatico** come il rapporto fra le differenze di entalpia di un processo isentropico e di quello reale, ovvero, il rapporto tra la **potenza assorbita** da un compressore **ideale** e quella necessaria per il compressore **reale**:

$$\eta_c = \frac{h_{t3s} - h_{t2}}{h_{t3} - h_{t2}} = \frac{T_{t3s}/T_{t2} - 1}{T_{t3}/T_{t2} - 1} = \frac{\left(\frac{p_{t3}}{p_{t2}}\right)^k - 1}{\tau_c - 1} = \frac{\pi_c^k - 1}{\tau_c - 1}$$

Normalmente si suppone che  $\eta_c$  e  $\pi_c$  siano noti mentre  $\tau_c$  deve essere

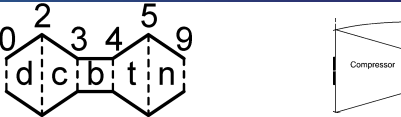




Propulsione Aerospaziale - PA3 Ciclo TJ - astarita@unina.it

17

# Compressore



Un secondo parametro che misura l'efficienza di un compressore è il rendimento politropico:

$$e_c = \frac{dh_{ts}}{dh_t}$$

Per piccoli rapporti di compressione le due definizioni di rendimento tendono a coincidere. Per una trasformazione isentropica:

$$dh_{ts} = dp_t/\rho_t$$

quindi:

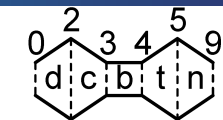
$$e_c = \frac{1}{\rho_t c_n} \frac{dp_t}{dT_t} = \frac{RT_t}{p_t c_n} \frac{dp_t}{dT_t} = k \frac{dp_t/p_t}{dT_t/T_t} \longrightarrow \frac{dp_t}{p_t} = \frac{e_c}{k} \frac{dT_t}{T_t}$$

che integrata da:

$$\frac{p_{t3}}{p_{t2}} = \pi_c = \left(\frac{T_{t3}}{T_{t2}}\right)^{\frac{e_c}{k}} = \tau_c^{\frac{e_c}{k}} \longrightarrow \tau_c = \pi_c^{\frac{k}{e_c}}$$



$$\tau_c = \pi_c^{\frac{\gamma-1}{\gamma e_c}}$$





Essendo  $e_c$  minore di uno il rapporto di temperature è maggiore di quello isentropico a parità di rapporto di pressione imposto.

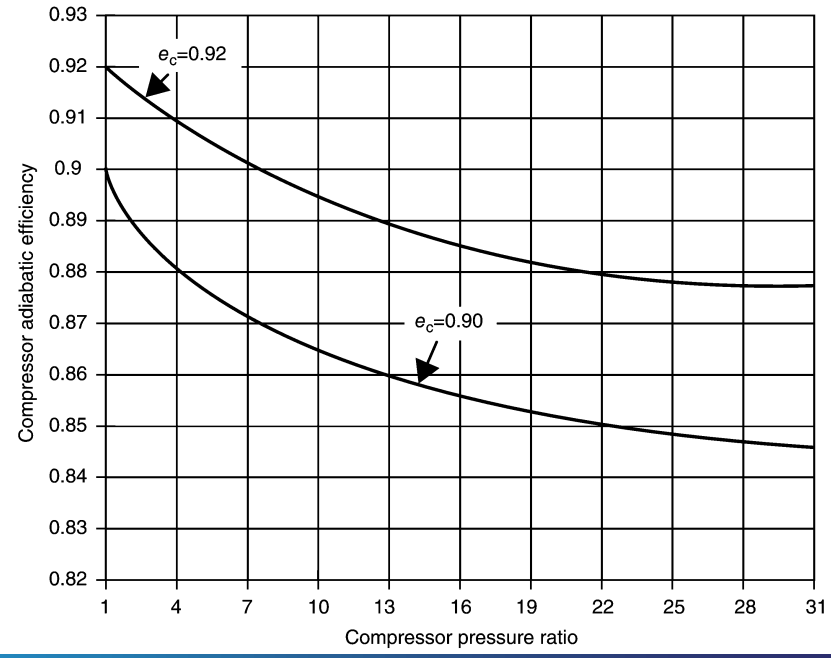
Valori tipici di  $e_c$  sono del ordine di 88-92%.

Sostituendo questa espressione relazione nella del rendimento

adiabatico si ha:

$$\eta_c = \frac{\pi_c^k - 1}{\tau_c - 1} = \frac{\pi_c^k - 1}{\pi_c^{\frac{k}{e_c}} - 1}$$

Il rendimento politropico è indipendente dal rapporto di compressione al contrario di quello adiabatico. Per questo motivo è il parametro che ci permette una progettazione preliminare del motore.





Propulsione Aerospaziale - PA3 Ciclo TJ - astarita @unina.it

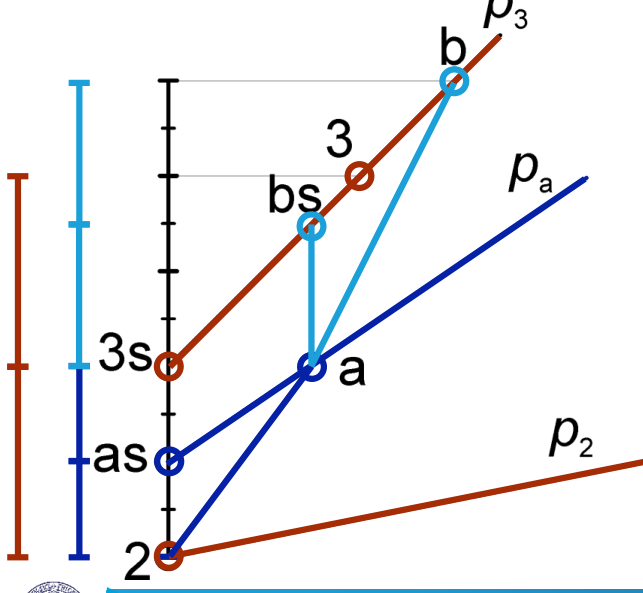
19

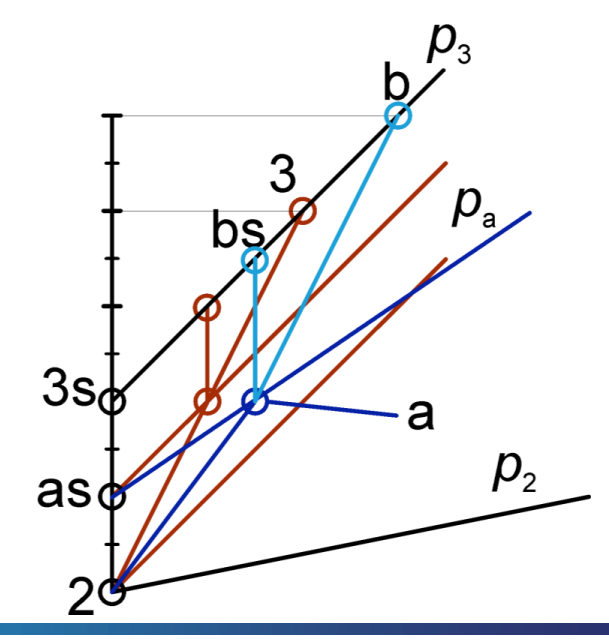
# Compressore



Il rendimento politropico può essere visto come il rendimento adiabatico costante associato ad una trasformazione per piccoli stadi successivi. Ad ognuno di questi stadi sarà associato un aumento della temperatura il che, considerando la divergenza delle isobare, porta ad un rendimento adiabatico inferiore al crescere del

rapporto di compressione.





0 2 3 4 9 d c b t n



A multistage axial-flow compressor has a mass flow rate of 50 kg/s and a total pressure ratio of 35. The compressor polytropic efficiency is  $e_{\rm c}=0.90$ . The inlet flow condition to the compressor is described by  $T_{\rm t2}=288$  K and  $p_{\rm t2}=100$  kPa. Assuming the flow in the compressor is adiabatic, and constant gas properties throughout the com-

pressor are assumed, i.e.,  $\gamma = 1.4$  and  $c_{\rm p} = 1004$  J/kg·K, calculate

- (a) compressor exit total temperature  $T_{t3}$  in K
- (b) compressor adiabatic efficiency  $\eta_c$
- (c) compressor shaft power  $\mathcal{D}_c$  in MW

#### **SOLUTION**

Following Equation 4.20, we relate compressor total temperature and pressure ratio via polytropic efficiency,

$$\tau_{\rm c} = \pi_{\rm c}^{\frac{\gamma - 1}{\gamma \cdot e_{\rm c}}} = (35)^{0.31746} \cong 3.0916$$

Therefore, the exit total temperature is  $T_{t3} = 3.0916 T_{t2} = 3.0916(288 \text{ K}) \approx 890.4 \text{ K}.$ 

Compressor adiabatic efficiency is related to the polytropic efficiency and compressor pressure ratio, via Equation 4.13

$$\eta_{\rm c} = \frac{{\pi_{\rm c}}^{\frac{\gamma-1}{\gamma}} - 1}{{\tau_{\rm c}} - 1} = \frac{35^{0.2857} - 1}{3.0916 - 1} \approx 0.8422$$

Therefore, compressor adiabatic efficiency is  $\eta_c \cong 84.22\%$ .

Compressor shaft power is proportional to the mass flow rate (i.e., the size of the compressor) as well as the total enthalpy rise across the compressor, according to

$$\wp_{c} = \dot{m}(h_{t3} - h_{t2}) = \dot{m}c_{p}(T_{t3} - T_{t2})$$
  
=  $(50 \text{ kg/s})(1004 \text{ J/kg} \cdot \text{K})(890.4 - 288) \text{ K}$   
 $\approx 30.24 \text{ MW}$ 

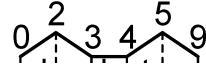
Therefore the shaft power delivered to the compressor is  $\wp_c \approx 30.24 \text{ MW}$ 

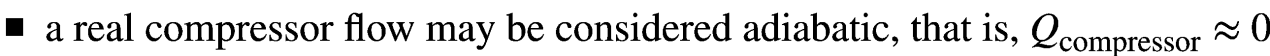


Propulsione Aerospaziale – PA3 Ciclo TJ - astarita @unina.it

21

# Compressore

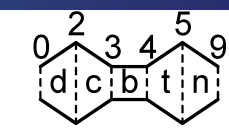






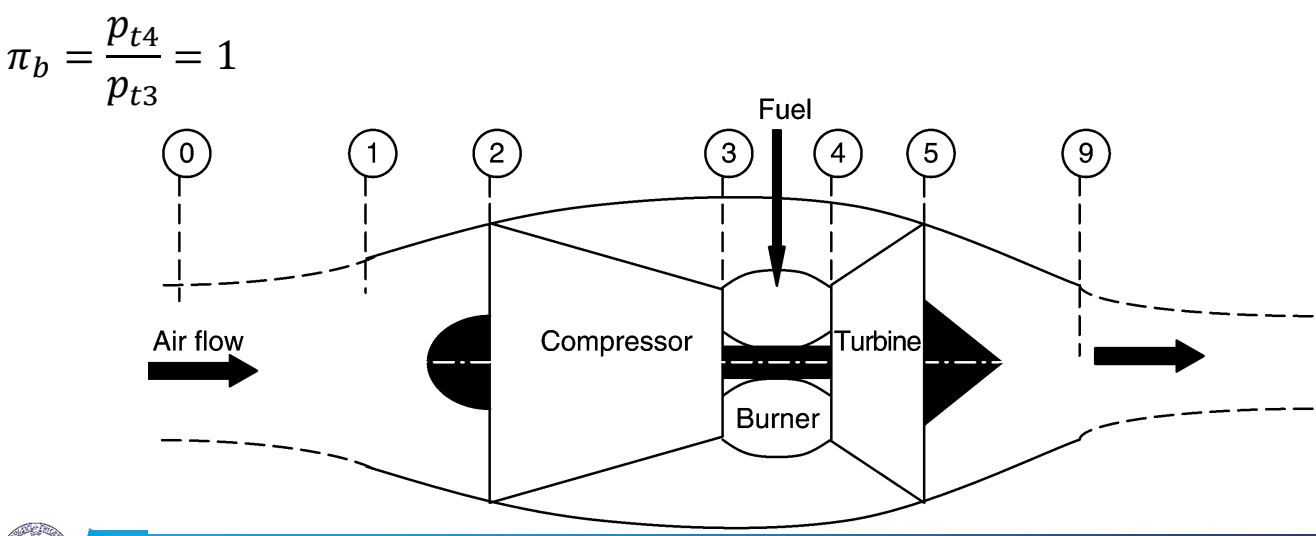
- the energy transfer to the fluid due to the shaft in a compressor is several orders of magnitude higher than any heat transfer that takes place through the casing, thus heat transfer is neglected
- viscous dissipation in the wall boundary layer and shocks account for the sources of irreversibility in a compressor
- there are two figures of merit that describe the compressor efficiency, one is the adiabatic compressor efficiency  $\eta_c$  (sometimes referred to as "isentropic" efficiency) and the second is the polytropic or small-stage efficiency  $e_c$
- $\blacksquare$  the two compressor efficiencies are interrelated, that is,  $\eta_{\rm c}=\eta_{\rm c}~(\pi_{\rm c},e_{\rm c})$
- the compressor polytropic efficiency is independent of compressor pressure ratio  $\pi_c$
- the compressor adiabatic efficiency is a function of  $\pi_c$  and decreases with increasing pressure ratio
- to achieve a high-pressure ratio in a compressor, multistage and multispool configurations are needed
- in a gas turbine engine, the compressor power is derived from a shaft that is connected to a turbine.





Nella camera di combustione (CC) l'aria proveniente dal compressore viene miscelata con il combustibile e attraverso una reazione esotermica si ha un aumento di temperatura ed una variazione delle proprietà del gas ( $\gamma e c_p$ ).

In un combustore ideale si suppone che gli effetti dissipativi siano trascurabili e che il numero di Mach sia nullo, in queste ipotesi il processo è isobaro:

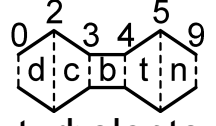




Propulsione Aerospaziale – PA3 Ciclo TJ - astarita @unina.it

23

#### Camera di combustione



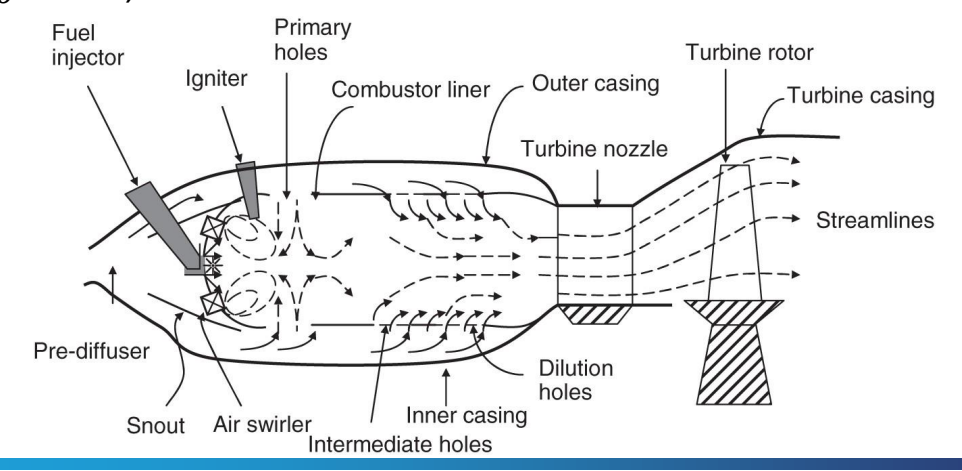


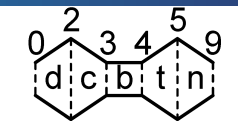
In realtà a causa degli attriti, del miscelamento turbolento e delle reazioni chimiche ad un numero di Mach basso ma diverso da zero il processo porta ad una caduta della pressione di ristagno.

Supponendo che la perdita di pressione sia proporzionale alla pressione dinamica si trova la seguente relazione:

$$\pi_b = \frac{p_{t4}}{p_{t3}} = \frac{p_{t3} - \epsilon 1/2 \rho V_b^2}{p_{t3}} \approx 1 - \epsilon \frac{\gamma}{2} \frac{\rho V_b^2}{\gamma p_{t3}} \approx 1 - \epsilon \frac{\gamma}{2} M_b^2$$

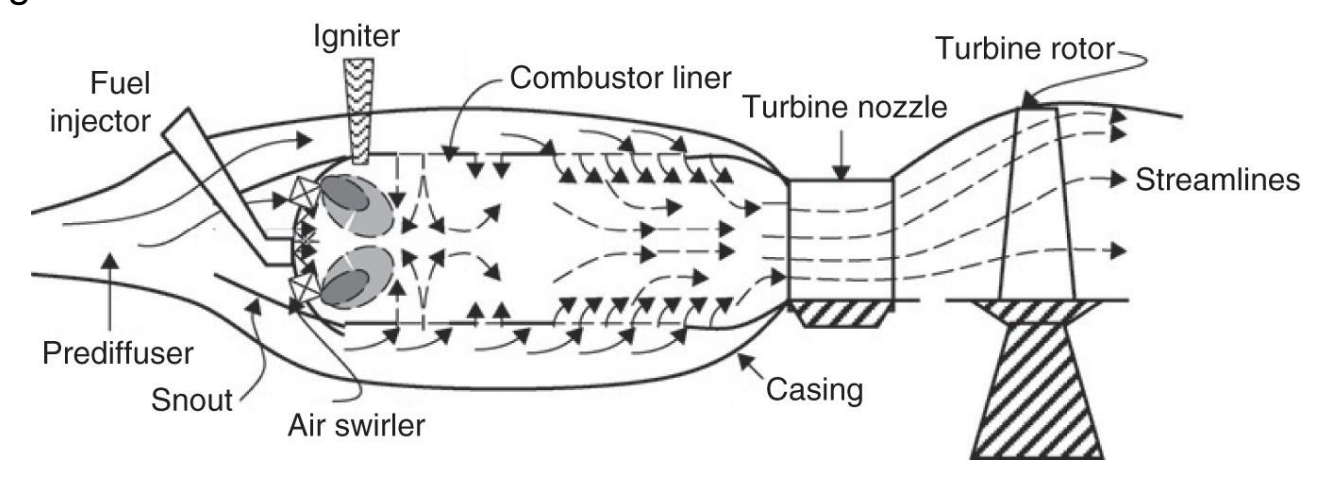
dove tipici valori della costante  $\epsilon$  sono compresi fra 1 e 2 (e.g. per  $M_b=0.2$ ,  $\epsilon=2$  si ha  $\pi_h\approx .95$ ).

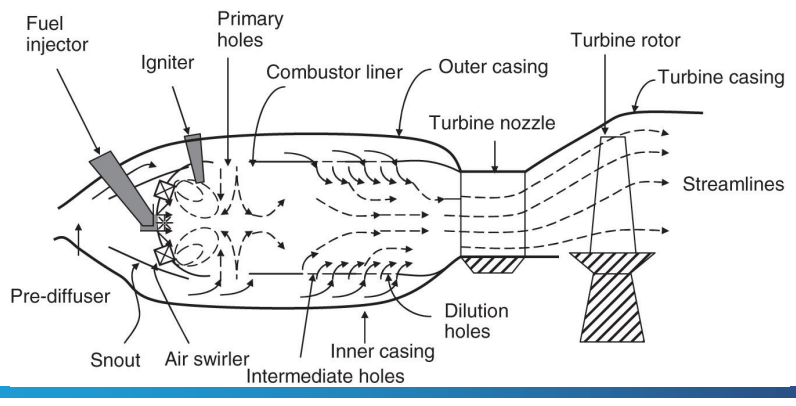






In figura è mostrato lo schema di un combustore.



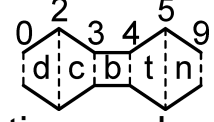




Propulsione Aerospaziale - PA3 Ciclo TJ - astarita @unina.it

25

#### Camera di combustione





In questa fase si analizzerà la camera di combustione solo dal punto di vista globale come variazioni delle condizioni fra le sezioni 3 e 4.

Da un bilancio di massa:

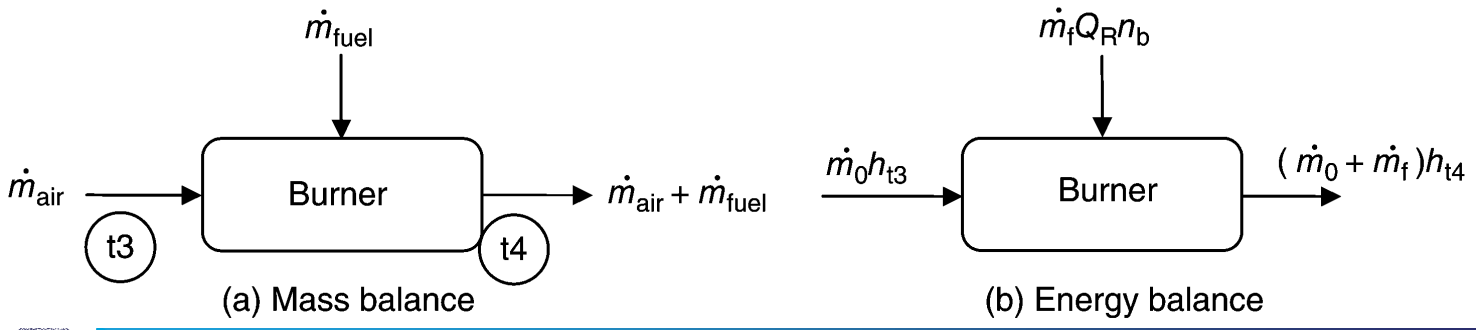
$$\dot{m}_4 = \dot{m}_0 + \dot{m}_f = (1+f)\dot{m}_0$$

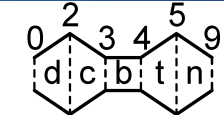
dove *f* è il **rapporto** fra la **portata** di **combustibile** e quella **d'aria**. Il bilancio di energia invece:

$$\dot{m}_0 h_{t3} + \dot{m}_f Q_R \eta_b = (\dot{m}_0 + \dot{m}_f) h_{t4} = (1+f) \dot{m}_0 h_{t4}$$

dove  $Q_R\left[\frac{kJ}{kg}\right]$  è il potere calorifico del combustibile (fuel heating value) e si

è introdotto il **rendimento del combustore**:  $\eta_b = \frac{Q_{R.Actual}}{Q_{R.Ideal}}$  che normalmente è circa 98-99%.







La temperatura limite  $T_{t4}$  è funzione della tecnologia di raffreddamento utilizzata e tipici valori sono del ordine di 1,750-2,000K.

Dal bilancio di energia si può ricavare f:

$$h_{t3} + \dot{m}_f / \dot{m}_0 Q_R \eta_b = h_{t3} + f Q_R \eta_b = (1 + f) h_{t4}$$
  $\rightarrow$   $f = \frac{h_{t4} - h_{t3}}{Q_R \eta_b - h_{t4}}$ 

Ricordando che

$$au_{\lambda}=rac{h_{t4}}{h_0}$$
 si ha:

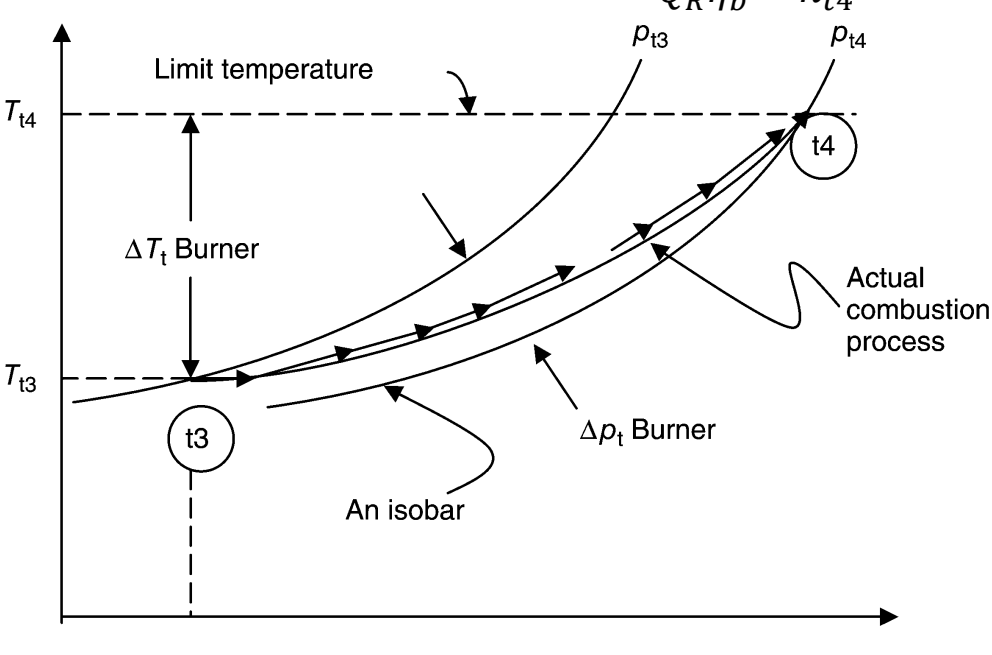
$$f = \frac{\tau_{\lambda} - \tau_c \tau_r}{Q_R \eta_b / h_0 - \tau_{\lambda}}$$

inoltre:

$$\tau_b = \frac{h_{t4}}{h_{t3}} = \frac{\tau_\lambda}{\tau_r \tau_c}$$

Dove:

$$\tau_c = \frac{h_{t3}}{h_{t2}} \qquad \tau_r = \frac{h_{t2}}{h_0}$$

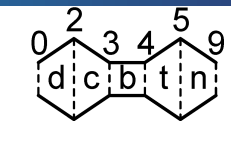




Propulsione Aerospaziale - PA3 Ciclo TJ - astarita@unina.it

27

#### Camera di combustione





A gas turbine combustor has inlet condition  $T_{t3} = 800$  K,  $p_{t3} = 2$  Mpa, air mass flow rate of 50 kg/s,  $\gamma_3 = 1.4$ ,  $c_{p3} = 1004$  J/kg·K.

A hydrocarbon fuel with ideal heating value  $Q_{\rm R} = 42,000 \, {\rm kJ/kg}$  is injected in the combustor at a rate of 1 kg/s. The burner efficiency is  $\eta_{\rm b} = 0.995$  and the total pressure at the combustor exit is 96% of the inlet total pressure,

i.e., combustion causes a 4% loss in total pressure. The gas properties at the combustor exit are  $\gamma_4=1.33$  and  $c_{\rm p4}=1156~{\rm J/kg\cdot K}$ . Calculate

- (a) fuel-to-air ratio f
- (b) combustor exit temperature  $T_{t4}$  in K and  $p_{t4}$  in MPa

#### **SOLUTION**

The air and fuel flow rates are specified at 50 and 1 kg/s, respectively, in the problem, therefore, f = 1/50 = 0.02 or 2%.

We calculate combustor exit temperature by energy balance,

$$\dot{m}_0 h_{\rm t3} + \dot{m}_{\rm f} Q_{\rm R} \eta_{\rm b} = (\dot{m}_0 + \dot{m}_{\rm f}) h_{\rm t4} = \dot{m}_0 (1+f) h_{\rm t4}$$

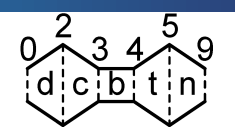
Therefore

$$h_{t3} + fQ_{\rm R}\eta_{\rm b} = (1+f)h_{t4}$$

$$T_{t4} = \frac{(c_{p3}/c_{p4})T_{t3} + fQ_{R}\eta_{b}/c_{p4}}{1 + f}$$

 $=\frac{(1004/1156)\,800\,\mathrm{K} + 0.02\,(42000\,\mathrm{kJ/kg})\,(0.995)\,/1.156\,\mathrm{kJ/kg}\cdot\mathrm{K}}{1.02}$ 

Therefore, combustor exit temperature is  $T_{\rm t4} \cong 1390$  K and  $p_{\rm t4} = 0.96(2$  MPa) = 1.92 MPa





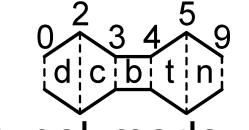
- the fuel is characterized by its heating value  $Q_R$  (maximum releasable thermal energy per unit mass)
- the burner is characterized by its efficiency  $\eta_b$ , and its total pressure ratio  $\pi_b$
- burning at finite Mach number, frictional losses on the walls and turbulent mixing are identified as the sources of irreversibility, that is, losses, in a burner
- the fuel-to-air ratio f and the burner exit temperature  $T_{\rm t4}$  are the thrust control/engine design parameters
- the application of the energy balance across the burner yields either f or  $T_{t4}$ .



Propulsione Aerospaziale – PA3 Ciclo TJ - astarita @unina.it

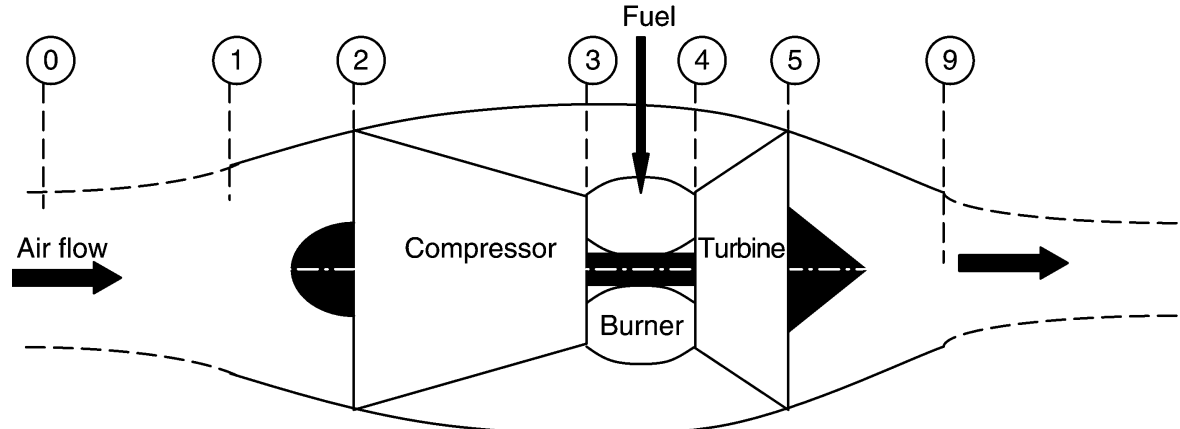
29

### **Turbina**



La turbina è una macchina motrice quindi prende energia nel modo lavoro dal fluido e la trasferisce attraverso un albero al compressore e alle altre macchine operatrici. Evidentemente all'interno di una turbina il fluido espande riducendo sia la pressione che la temperatura.

A causa delle **alte temperature** a valle della CC i primi stadi della turbina (HPT) devono essere **raffreddati** con aria presa dal compressore (e.g. fra il compressore di alta (HPC) e di bassa LPT); questo effetto normalmente si trascura nell'analisi preliminare.

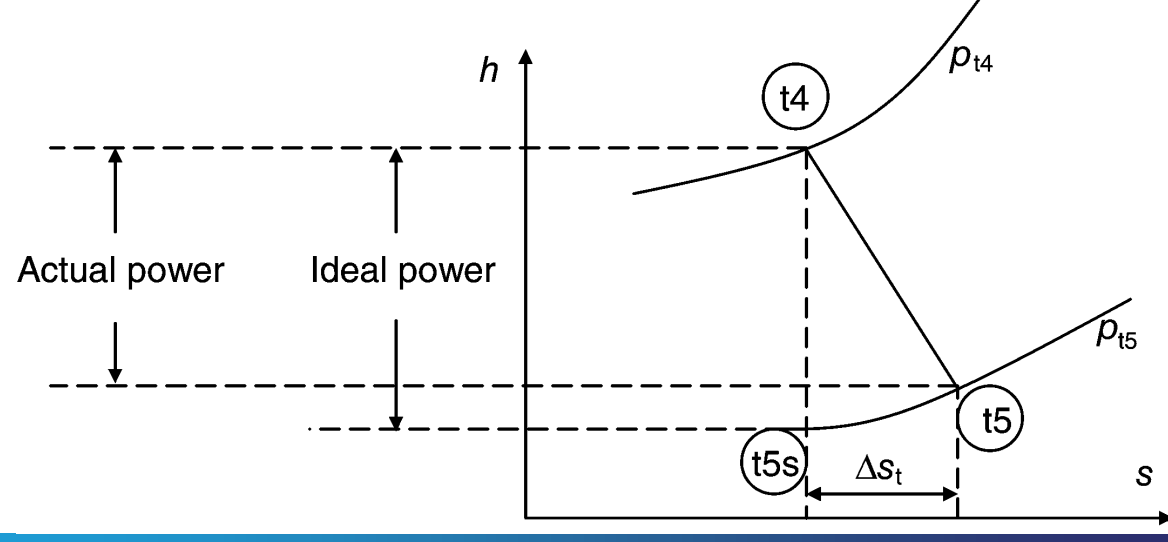






Anche nel flusso attraverso una turbina esistono degli effetti dissipativi. Quindi il processo non è isentropico ed in analogia con i compressori si possono definire sia un rendimento adiabatico che politropico:

$$\eta_t = \frac{h_{t4} - h_{t5}}{h_{t4} - h_{t5s}} = \frac{1 - T_{t5}/T_{t4}}{1 - T_{t5s}/T_{t4}} = \frac{1 - \tau_t}{1 - \left(\frac{p_{t5}}{p_{t4}}\right)^{k_t}} = \frac{1 - \tau_t}{1 - \pi_t^{k_t}} \qquad k_t = \frac{\gamma_t - 1}{\gamma_t}$$

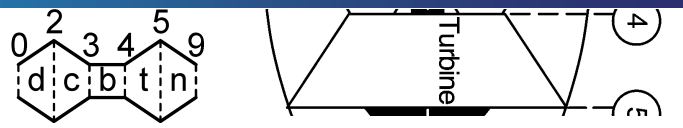




Propulsione Aerospaziale - PA3 Ciclo TJ - astarita@unina.it

31

### **Turbina**



Come già fatto per i compressori dal rendimento politropico:

$$e_t = \frac{dh_t}{dh_{ts}} \qquad \rightarrow \qquad \tau_t = \pi_t^{k_t e_t} \qquad \rightarrow \qquad \pi_t = \tau_t^{\frac{1}{k_t e_t}}$$

Sostituendo quest'ultima equazione nell'espressione del **rendimento** adiabatico:

$$\eta_t = \frac{1 - \tau_t}{1 - \tau_t^{\frac{1}{e_t}}}$$

$$1 - \tau_t^{\frac{1}{e_t}}$$
Actual power | Ideal power |
$$t_{158} \Delta s_{t}$$





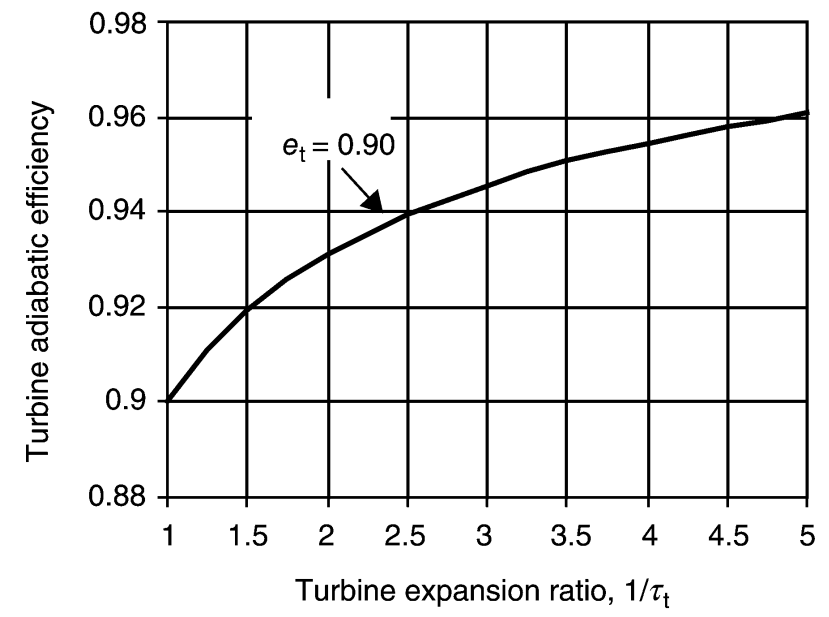
Come già fatto per i compressori dal rendimento politropico:

$$e_t = \frac{dh_t}{dh_{ts}} \qquad \rightarrow \qquad \tau_t = \pi_t^{k_t e_t} \qquad \rightarrow \qquad \pi_t = \tau_t^{\frac{1}{k_t e_t}}$$

Sostituendo quest'ultima equazione nell'espressione del **rendimento adiabatico**:

$$\eta_t = \frac{1-\tau_t}{1-\tau_t^{\frac{1}{e_t}}}$$

Il comportamento per una turbina è opposto a quello del compressore.

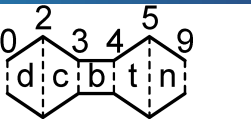




Propulsione Aerospaziale – PA3 Ciclo TJ - astarita @unina.it

33

# Turbina





Il rapporto delle temperature si ricava da un bilancio delle potenze necessarie per il compressore e per le altre utenze (potenza elettrica e potenze dissipate nei cuscinetti). Nell'ipotesi ideale che la potenza generata dalla turbina sia assorbita solo dal compressore:

$$\mathcal{P}_t = \mathcal{P}_c \qquad \rightarrow \qquad \dot{m}_0(1+f)(h_{t4} - h_{t5}) = \dot{m}_0(h_{t3} - h_{t2})$$

Ovvero in forma adimensionale:

$$(1+f)(h_{t4} - h_{t5})/h_0 = (h_{t3} - h_{t2})/h_0$$
  
$$(1+f)(1-\tau_t)\tau_{\lambda} = (\tau_c - 1)\tau_r$$

Quindi:

$$\tau_t = 1 - \frac{(\tau_c - 1)\tau_r}{(1+f)\tau_{\lambda}}$$

Dove:

$$\tau_t = \frac{T_{t5}}{T_{t4}} = \frac{h_{t5}}{h_{t4}} \qquad \tau_c = \frac{h_{t3}}{h_{t2}} = \frac{T_{t3}}{T_{t2}} \qquad \tau_r = \frac{h_{t2}}{h_0} = \frac{T_{t2}}{T_0} \qquad \tau_{\lambda} = \frac{h_{t4}}{h_0}$$







Normalmente le potenze aggiuntive:

$$\mathcal{P}_c = \mathcal{P}_t - \Delta \mathcal{P}_b - \Delta \mathcal{P}_e$$

vengono trattate come aliquota della potenza del compressore:

$$\mathcal{P}_c = \eta_m \mathcal{P}_t$$

Dove è stato introdotto il rendimento meccanico che dovrebbe essere asegnato a priori. La formula precedente diventa:

$$\tau_t = 1 - \frac{(\tau_c - 1)\tau_r}{\eta_m(1 + f)\tau_\lambda}$$



Propulsione Aerospaziale - PA3 Ciclo TJ - astarita @unina.it

#### 35

### Turbina

Consider an uncooled gas turbine with its inlet condition the same as the exit condition of the combustor described in Example 4.3. The turbine adiabatic efficiency is 88%. The turbine produces a shaft power to drive the compressor and other accessories at  $\mathcal{D}_t = 45$  MW. Assuming that the gas properties in the turbine are the same as the burner exit in Example 4.3, calculate

- (a) turbine exit total temperature  $T_{t5}$  in K
- (b) turbine polytropic efficiency,  $e_t$
- (c) turbine exit total pressure  $p_{t5}$  in kPa
- (d) turbine shaft power  $\mathcal{D}_t$  based on turbine expansion  $\Delta T_{\rm t}$

#### SOLUTION

The turbine shaft power is proportional to the mass flow rate through the turbine, which from Example 4.3 is 51 kg/s (50 for air and 1 for fuel flow rate), as well the total enthalpy drop, i.e.,

$$\wp_{t} = \dot{m}_{t}(h_{t4} - h_{t5})$$

Therefore, we isolate  $h_{15}$  from above equation to get

$$h_{t5} = h_{t4} - \mathcal{O}_t / \dot{m}_t = c_{p4} T_{t4} - 45 \times 10^6 / 51$$
  
= 1.156 kJ/kg · K (1390 K)  
- 45,000 kW/51 kg/s \approx 724.5 kJ/kg

$$T_{t5} = h_{t5}/c_{p5}$$
  
=  $(724.5 \text{ kJ/kg})/(1.156 \text{ kJ/kg} \cdot \text{K}) \approx 626.7 \text{ K}$ 

Turbine polytropic efficiency  $e_t$  may be related to its adiabatic efficiency and  $\tau_t$  via equation

The turbine expansion parameter  $\tau_{\rm t} = 626.7/1390 =$ 0.4509; and if we isolate  $e_t$  from above equation we get

$$e_{t} = \ln(\tau_{t}) / \ln[1 - (1 - \tau_{t})/\eta_{t}]$$
  
= \ln(0.4509) / \ln[1 - 0.5491/0.88] \approx 0.8144

We know that turbine pressure and temperature ratios are related by the polytropic efficiency via

$$\pi_{\rm t} = \tau_{\rm t}^{\frac{\gamma}{(\gamma-1)e_{\rm t}}} = (0.4509)^{\frac{1.33}{0.33(0.8144)}} \cong 0.01941$$

The turbine exit total pressure is therefore  $p_{t4} \cdot \pi_t$ . We had found  $p_{t4} = 1.92$  MPa in Example 4.3, therefore,

$$p_{t5} = 0.01941(1.92 \text{ MPa}) = 37.26 \text{ kPa}$$

The turbine shaft power is the product of the turbine mass flow rate and the total enthalpy drop across the turbine, i.e.,

$$\eta_{t} = \frac{1 - \tau_{t}}{1 - \tau_{t}^{1/e_{t}}}$$
  $\wp_{t} = \dot{m}_{t} c_{pt} (T_{t4} - T_{t5})$   
= 51 kg/s (1156 J/kg·K)(1390 - 626.7) K \( \simeq 45 \text{ MW} \)

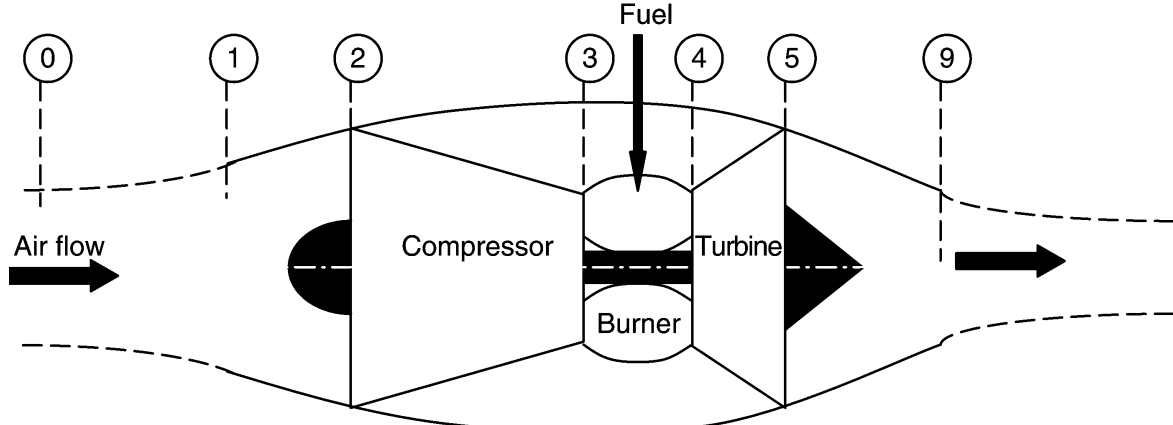


- the flow expansion in the turbine produces the needed shaft power for the compressor and other propulsion system or aircraft needs, for example, an electric generator
- there are two figures of merit in a turbine, which measure the extent of irreversibility in a turbine,  $\eta_t$  and  $e_t$  and they are related
- the gas expansion in an uncooled turbine is treated as adiabatic
- the frictional losses on the blades and the casing as well as any shock losses, in relative supersonic passages, are the sources of irreversibility in an uncooled turbine
- turbulent mixing losses between the coolant and the hot gas is an added source of irreversibility in a cooled turbine
- the turbine entry temperature  $T_{t4}$  is a design parameter that sets the stage for the turbine material and cooling requirements
- the power balance between the turbine, the compressor, and other known power drainage, establishes the turbine expansion ratio  $\tau_t$
- cooling of the high-pressure turbine is achieved through compressor air bleed that is injected through the blade root in the rotor and the casing for the turbine nozzle
- the turbine nozzle is choked (i.e., the throat Mach number is 1), over a wide operating range of the engine, and as such is the first *throttle station* of the engine.

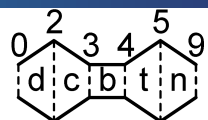
38

# Ugello

La funzione dell'ugello è di accelerare i gas combusti efficientemente. L'espansione dei gas nel ugello provoca un gradiente di pressione favorevole, quindi lo strato limite è sottile e stabile.





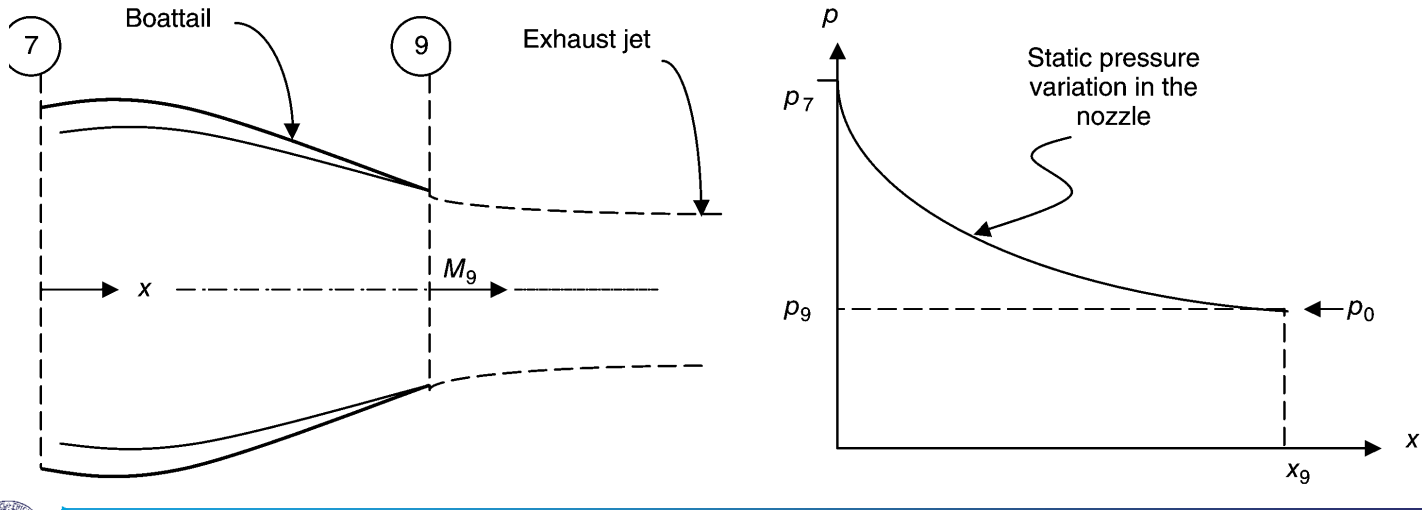




La funzione dell'ugello è di accelerare i gas combusti efficientemente. L'espansione dei gas nel ugello provoca un gradiente di pressione favorevole, quindi lo strato limite è sottile e stabile.

Evidentemente anche la **forma esterna** (Boattail) è importante per ridurre le perdite all'esterno.

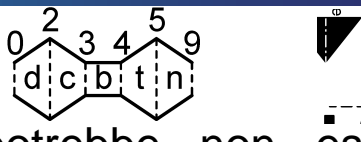
Le curve di funzionamento di un ugello convergente <u>dovrebbero</u> <u>essere note</u>, di seguito si farà un brevissima ripetizione.



Propulsione Aerospaziale – PA3 Ciclo TJ - astarita @unina.it

40

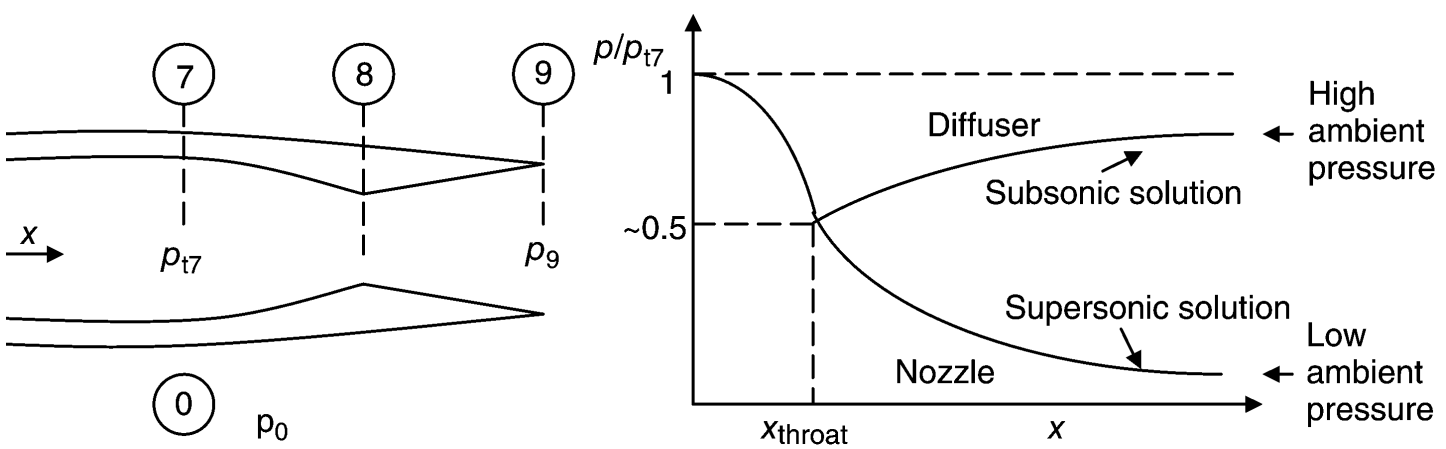
# Ugello



Nel caso di ugelli convergenti divergenti potrebbe non essere soddisfatta la condizione di Kutta.

La simbologia è leggermente diversa. Si definisce il rapporto di pressione nell'ugello (Nozzle Pressure Ratio):

$$NPR = \frac{p_{t7}}{p_0}$$



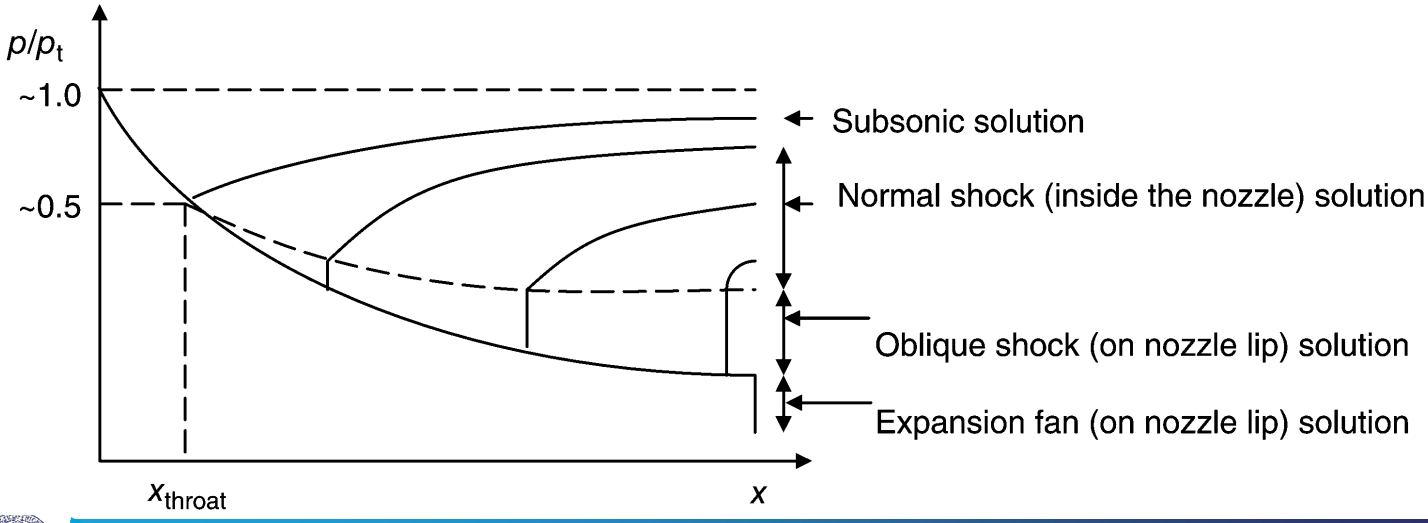
0 2 3 4 5 9 d c b t n



Nel caso di ugelli convergenti divergenti potrebbe non essere soddisfatta la condizione di Kutta.

La simbologia è leggermente diversa. Si definisce il rapporto di pressione nell'ugello (Nozzle Pressure Ratio):

$$NPR = \frac{p_{t7}}{p_0}$$

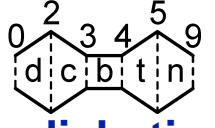




Propulsione Aerospaziale – PA3 Ciclo TJ - astarita@unina.it

42

# Ugello





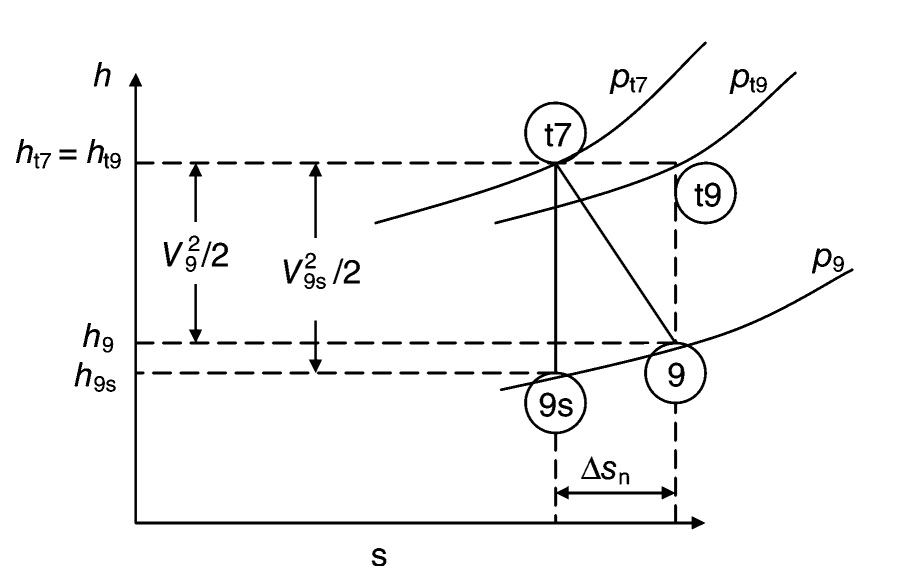
Anche per l'ugello si può definire un rendimento adiabatico:

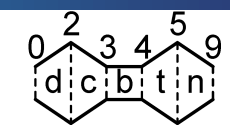
$$\eta_n = \frac{h_{t7} - h_9}{h_{t7} - h_{9s}} = \frac{V_9^2/2}{V_{9s}^2/2} = \frac{1 - \frac{h_9}{h_{t7}}}{1 - \frac{h_{9s}}{h_{t7}}} = \frac{1 - \left(\frac{p_9}{p_{t9}}\right)^{k_9}}{1 - \left(\frac{p_9}{p_{t7}}\right)^{k_9}}$$

Dove si è utilizzata la costanza delle entalpie  $h_{t7} = h_{t9}$ .

Moltiplicando numeratore e denominatore per:

$$\left(\frac{p_{t7}}{p_9}\right)^{k_9}$$







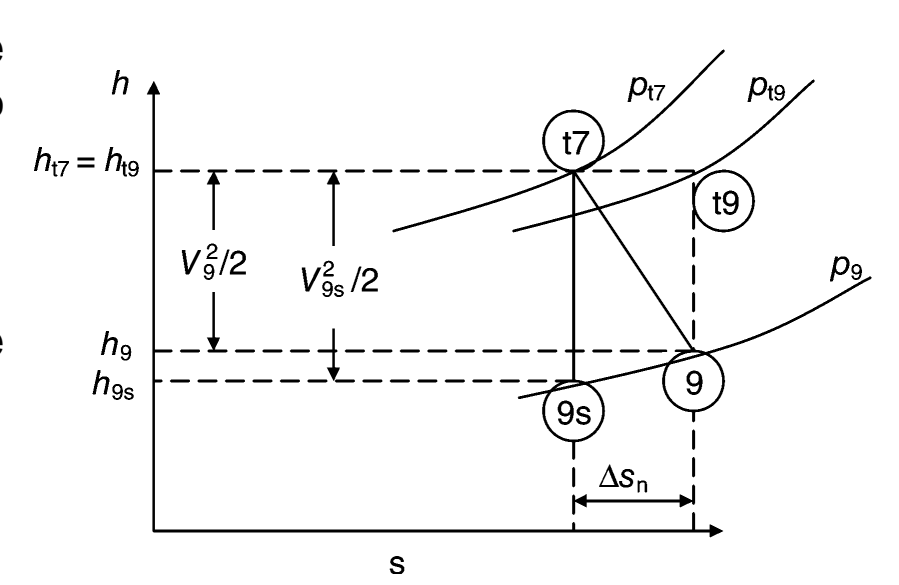
$$\eta_n = \frac{1 - \left(\frac{p_9}{p_{t9}}\right)^{k_9}}{1 - \left(\frac{p_9}{p_{t7}}\right)^{k_9}} = \frac{\left(\frac{p_{t7}}{p_9}\right)^{k_9} - \pi_n^{-k_9}}{\left(\frac{p_{t7}}{p_9}\right)^{k_9} - 1}$$

Con il rapporto fra le pressioni totali nell'ugello dato da:

$$\pi_n = \frac{p_{t9}}{p_{t7}}$$

Il rendimento si può anche esprimere attraverso NPR:

$$\frac{p_{t7}}{p_9} = \frac{p_{t7}}{p_0} \frac{p_0}{p_9} = NPR \frac{p_0}{p_9}$$



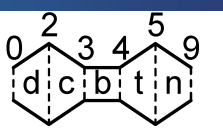


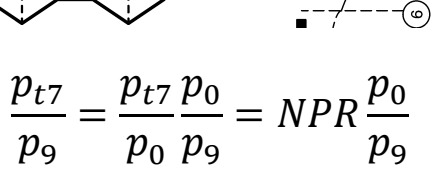
Propulsione Aerospaziale – PA3 Ciclo TJ - astarita @unina.it

1 1

# Ugello

$$\eta_n = \frac{\left(\frac{p_{t7}}{p_9}\right)^{k_9} - \pi_n^{-k_9}}{\left(\frac{p_{t7}}{p_9}\right)^{k_9} - 1} = \frac{\left(NPR\frac{p_0}{p_9}\right)^{k_9} - \pi_n^{-k_9}}{\left(NPR\frac{p_0}{p_9}\right)^{k_9} - 1}$$

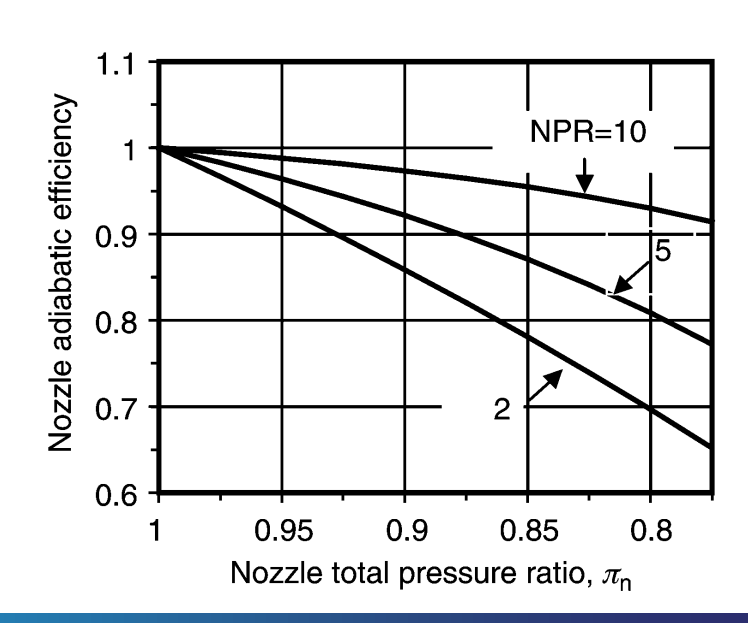




$$\pi_n = \frac{p_{t9}}{p_{t7}}$$

Dove il rapporto  $p_0/p_9$  è unitario per **espansione corretta**. In queste condizioni il rendimento adiabatico è diagrammato nella figura.

Nel caso di ugello isentropico chiaramente  $\pi_n$  è unitario.



Consider a convergent–divergent nozzle with a pressure ratio NPR = 10. The gas properties are  $\gamma=1.33$  and  $c_p=1.156\,\mathrm{J/kg\cdot K}$  and remain constant in the nozzle. The nozzle adiabatic efficiency is  $\eta_{\rm n}=0.94$ . Calculate

- (a) nozzle total pressure ratio  $\pi_n$
- (b) nozzle area ratio  $A_9/A_8$  for a perfectly expanded nozzle
- (c) nozzle exit Mach number  $M_9$  (perfectly expanded)

#### **SOLUTION**

We may use Equation 4.64 that relates the figures of merit of a nozzle  $(\eta_n \text{ and } \pi_n)$  with *NPR*,

$$\eta_{\rm n} = \frac{\left\{ {\rm NPR}\left(\frac{p_0}{p_9}\right) \right\}^{\frac{\gamma-1}{\gamma}} - \pi_{\rm n}^{-\frac{\gamma-1}{\gamma}}}{\left\{ {\rm NPR}\left(\frac{p_0}{p_9}\right) \right\}^{\frac{\gamma-1}{\gamma}} - 1}$$

For a perfectly expanded nozzle,  $p_0 = p_9$ , therefore, we get the following expression for  $\pi_n$ 

$$\pi_{n} = \left[ NPR^{\frac{\gamma-1}{\gamma}} - \eta_{n} \left( NPR^{\frac{\gamma-1}{\gamma}} - 1 \right) \right]^{\frac{-\gamma}{\gamma-1}} \cong 0.8335$$

The entropy rise in an adiabatic nozzle is a function of the total pressure ratio  $\pi_n$ , according to (Equation 4.59)

$$\Delta s_{\rm n}/R = -\ell n \pi_{\rm n} \cong -\ell n (0.8335) \approx 0.1822$$

We can calculate the local Mach number  $M_9$  if we know the total and static pressures  $p_{t9}$  and  $p_9$  simultaneously. From the NPR and the total pressure ratio, we may write

$$p_{t9}/p_9 = (p_{t9}/p_{t7})(p_{t7}/p_0)(p_0/p_9) = 0.8335(10)(1)$$
  
= 8.335

From the general expression for total pressure and Mach number

$$p_{\rm t}/p = (1 + (\gamma - 1)M^2/2)^{\frac{\gamma}{\gamma - 1}}$$

We can isolate Mach number as follows

$$M_9 = \sqrt{\frac{2}{\gamma - 1} \left[ (p_{t9}/p_9)^{\frac{\gamma - 1}{\gamma}} - 1 \right]}$$
$$= \sqrt{\frac{2}{0.33} \left[ (8.335)^{0.3/1.33} - 1 \right]} \approx 2.05$$

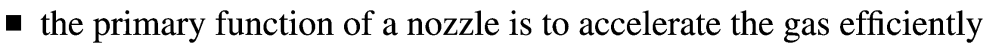
Using continuity, we calculate  $A_9/A_8 \sim 1.8242$ 



Propulsione Aerospaziale – PA3 Ciclo TJ - astarita @unina.it

46

### **Ugello**





- $\blacksquare$  the gross thrust parameter  $F_g$  signifies nozzle's contribution to the thrust production
- the gross thrust reaches a maximum when the nozzle is perfectly expanded; that is,  $p_9 = p_0$
- real nozzle flows may still be considered as adiabatic
- a nozzle pressure ratio (NPR) that causes a Mach-1 flow at the throat (i.e., choking condition) is called the *critical nozzle pressure ratio*, and as a rule of thumb, we may remember an (NPR)<sub>crit</sub> of ~2
- there are two efficiency parameters that quantify losses or the degree of irreversibility in a nozzle and they are related
- nozzle losses manifest themselves as the total pressure loss
- all subsonic exhaust streams have  $p_{jet} = p_{ambient}$
- a perfect nozzle expansion means that the nozzle exit (static) pressure and the ambient pressure are equal
- an imperfect nozzle expansion is caused by a mismatch between the nozzle area ratio and the altitude of operation
- underexpansion is caused by smaller-than-necessary nozzle area ratio, leading to  $p_9 > p_0$
- overexpansion is caused by larger-than-necessary nozzle area ratio, leading to  $p_9 < p_0$ .



### Ricapitolando

In figura sono mostrati i valori tipici delle grandezze caratteristiche in ventenni successivi (1945-65, 1965-85, 1985-05, 2005-2025).

Component	Figure of merit	Type <sup>a</sup>	Level of technology <sup>b</sup>				
			1	2	3	4	
Diffuser	$\pi_{d ext{max}}$	A	0.90	0.95	0.98	0.995	
		В	0.88	0.93	0.96	0.98	
		C	0.85	0.90	0.94	0.96	
Compressor	$e_c$		0.80	0.84	0.88	0.90	
Fan	$e_f$		0.78	0.82	0.86	0.89	
Burner	$\pi_b$		0.90	0.92	0.94	0.95	
	$\eta_b$		0.88	0.94	0.99	0.999	
Turbine	$e_t$	Uncooled	0.80	0.85	0.89	0.90	
		Cooled		0.83	0.87	0.89	
Afterburner	$\pi_{AB}$		0.90	0.92	0.94	0.95	
	$\eta_{AB}$		0.85	0.91	0.96	0.99	
Nozzle	M	D	0.95	0.97	0.98	0.995	
	$\pi_n$	E	0.93	0.96	0.97	0.98	
		F	0.90	0.93	0.95	0.97	
Mechanical shaft	$\eta_m$	Shaft only	0.95	0.97	0.99	0.995	
		With power takeoff	0.90	0.92	0.95	0.97	
Maximum $T_{t4}$		(K)	1110	1390	1780	2000	
		(R)	2000	2500	3200	3600	
Maximum T <sub>t7</sub>		(K)	1390	1670	2000	2220	
		(R)	2500	3000	3600	4000	

<sup>&</sup>lt;sup>a</sup>A = subsonic aircraft with engines in nacelles



Propulsione Aerospaziale – PA3 Ciclo TJ - astarita@unina.it

48

# Ricapitolando

	Figure of merit	Type <sup>a</sup>	Level of technology <sup>b</sup>			
Component			4 <del>5-65</del>	<b>65-85</b>	85-05 3	05-25 4
Diffuser	$\pi_{d ext{max}}$	A	0.90	0.95	0.98	0.995
		В	0.88	0.93	0.96	0.98
		C	0.85	0.90	0.94	0.96
Compressor	$e_c$		0.80	0.84	0.88	0.90
Fan	$e_f$		0.78	0.82	0.86	0.89
Burner	$\pi_b$		0.90	0.92	0.94	0.95
	$\eta_b$		0.88	0.94	0.99	0.999
Turbine	$e_t$	Uncooled	0.80	0.85	0.89	0.90
		Cooled		0.83	0.87	0.89
Afterburner	$ au_{AB}$		0.90	0.92	0.94	0.95
	$\eta_{AB}$		0.85	0.91	0.96	0.99
Nozzle	-110	D	0.95	0.97	0.98	0.995
	$\pi_n$	E	0.93	0.96	0.97	0.98
		F	0.90	0.93	0.95	0.97

D = fixed-area convergent nozzle

B = subsonic aircraft with engines in airframe B = subsonic aircraft with engine(s) in airframe B = subsonic aircraft with engine(s) in airframe B = variable-area convergent nozzle B = variable-area convergent nozzle

Ricapitoland	ob		45-65	65-85	85-05	05-25
Afterburner	$ au_{AB}$		0.90	0.92	0.94	0.95
	$\eta_{AB}$		0.85	0.91	0.96	0.99
Nozzle		D	0.95	0.97	0.98	0.995
	$\pi_n$	E	0.93	0.96	0.97	0.98
		F	0.90	0.93	0.95	0.97
Mechanical shaft	$\eta_m$	Shaft only	0.95	0.97	0.99	0.995
		With power takeoff	0.90	0.92	0.95	0.97
Maximum $T_{t4}$		(K)	1110	1390	1780	2000
		(R)	2000	2500	3200	3600
Maximum $T_{t7}$		(K)	1390	1670	2000	2220
		(R)	2500	3000	3600	4000

<sup>a</sup>A = subsonic aircraft with engines in nacelles

D = fixed-area convergent nozzle

B = subsonic aircraft with engine(s) in airframe

E = variable-area convergent nozzle

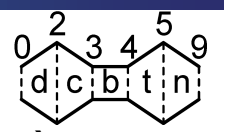
C = supersonic aircraft with engine(s) in airframe F = variable-area convergent-divergent nozzle <sup>b</sup>Notes: Stealth may reduce  $\pi_{dmax}$ ,  $\pi_{AB}$ , and  $\pi_n$ . The levels of technology can be thought of as representing the technical capability for 20-yr increments in time beginning in 1945. Thus level 3 of technology presents typical component design values for the time period 1985–2005.



Propulsione Aerospaziale – PA3 Ciclo TJ - astarita @unina.it

#### 50

### Rendimento termico

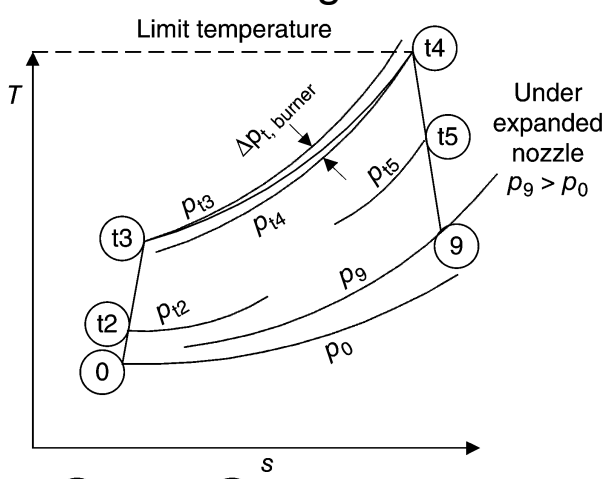


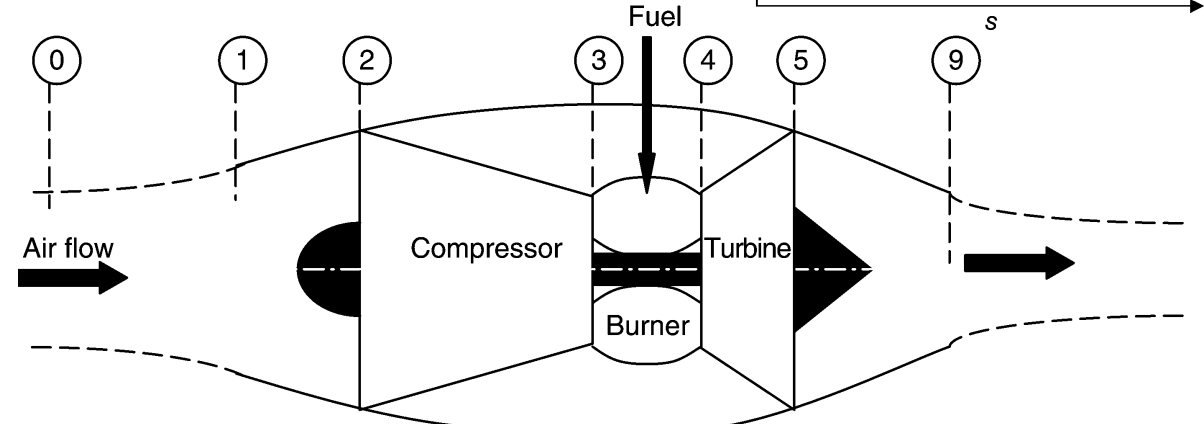
Come gia detto il rendimento termico teorico di un turbogetto è:

 $\eta_{th} = 1 - \frac{T_0}{T_{t3}}$ 

Che in termini di rapporti diventa:

$$\eta_{th} = 1 - \frac{1}{\frac{T_{t3}}{T_{t2}} \frac{T_{t2}}{T_0}} = 1 - \frac{1}{\tau_c \tau_r}$$





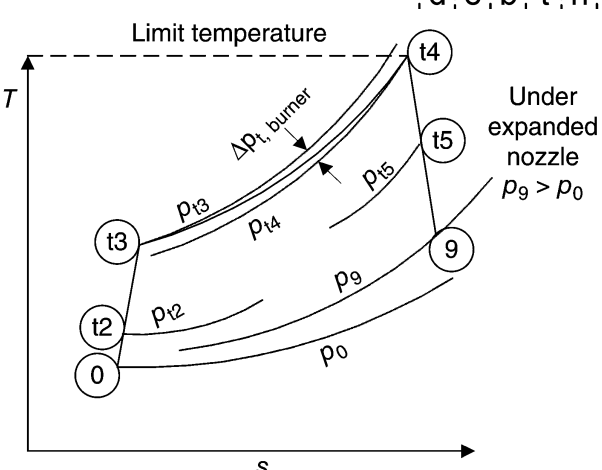
0 2 3 4 5 9 d c b t n

Ricordando che:

$$\tau_c = \pi_c^k \qquad \quad \tau_r = \left(1 + \frac{\gamma - 1}{2} M_0^2\right) = \psi_0$$

Si ha:

$$\eta_{th} = 1 - \frac{1}{\pi_c^k \left(1 + \frac{\gamma - 1}{2} M_0^2\right)} = 1 - \frac{1}{\pi_c^k \psi_0}$$



Per numero di Mach fissato il **rendimento aumenta** al crescere del **rapporto di pressioni** nel compressore. Però un aumento eccessivo della rapporto di pressione implica anche temperature più elevate e di conseguenza:

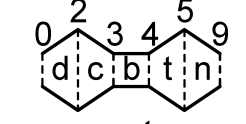
- Utilizzo di superleghe anche negli stadi finali del compressore (HPC);
- Raffreddamento del HPC;
- Passaggi anulari molto stretti con conseguenti grosse perdite secondarie nel HPC.



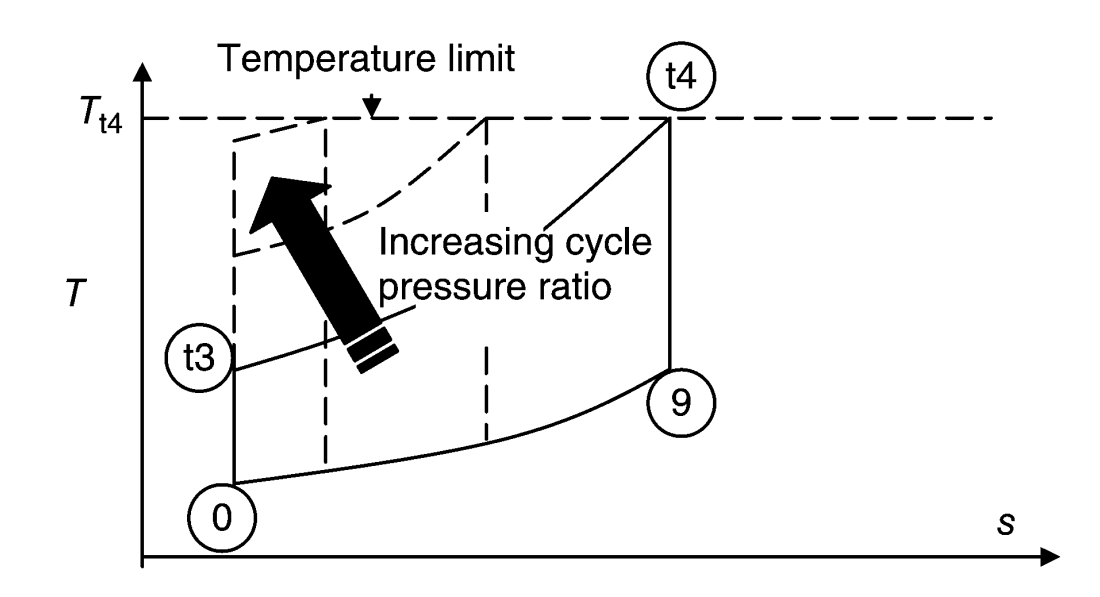
Propulsione Aerospaziale – PA3 Ciclo TJ - astarita@unina.it

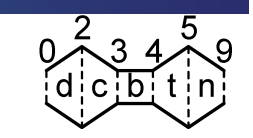
52

### Rendimento del ciclo ideale



Un ultriore problema è, che come gia detto, il tendere della temperatura a valle del compressore alla temperatura limite porta una diminuzione del lavoro che può essere estratto dal ciclo.





$$\eta_{th} = 1 - \frac{1}{\pi_c^{\frac{\gamma - 1}{\gamma}} \left(1 + \frac{\gamma - 1}{2} M_0^2\right)}$$

Mantenedo costante  $\pi_c$  l'aumento del numero di Mach provoca un aumento del rendimento.

Il rendimento è minimo al punto fisso.

Se  $M_0$  aumenta molto può essere conveniente eliminare il compressore perché la compressione fornita dalla presa d'aria è sufficiente.



Propulsione Aerospaziale – PA3 Ciclo TJ - astarita @unina.it

#### E 4

#### Rendimento del ciclo ideale

Ricordando la:

$$W_{net} = c_p T_1 \left[ \left( \frac{T_3}{T_1} - \tau_c \right) (1 - \tau_c^{-1}) \right]$$

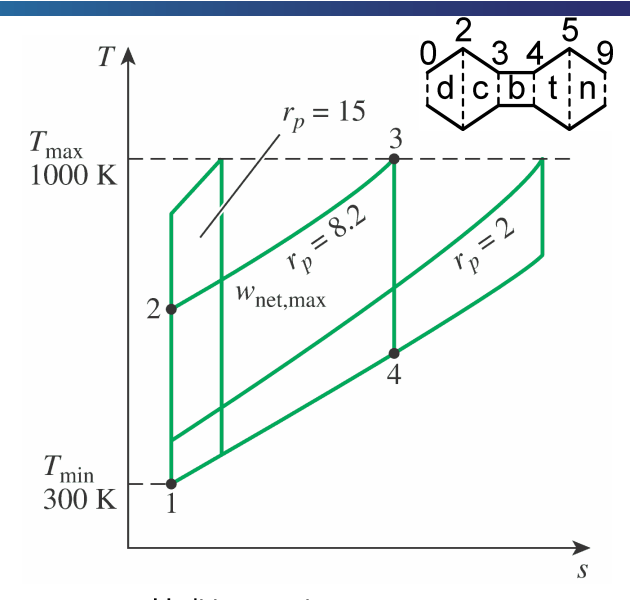
Che riscritta in un ambito più generale diventa:

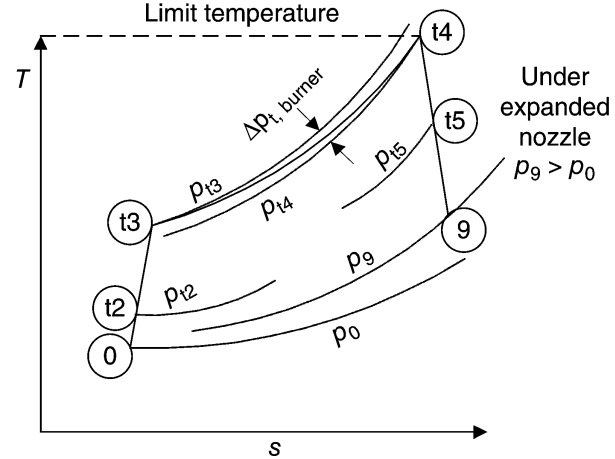
$$W_{net} = h_0 \left[ (\tau_{\lambda} - \tau_c \tau_r) \left( 1 - \frac{1}{\tau_c \tau_r} \right) \right]$$

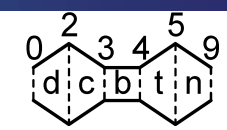
Nel ciclo ideale si ha:  $c_p = c_{pt} \rightarrow \tau_{\lambda} = \frac{T_{t4}}{T_0}$ .

Derivando (rispetto a  $\tau_c \tau_r$ ) si ottiene che il lavoro prodotto è massimo per:

$$\tau_c \tau_r = \sqrt{\tau_\lambda} \to \tau_c = \frac{\sqrt{\tau_\lambda}}{\tau_r} = \frac{\sqrt{\tau_\lambda}}{\psi_0}$$

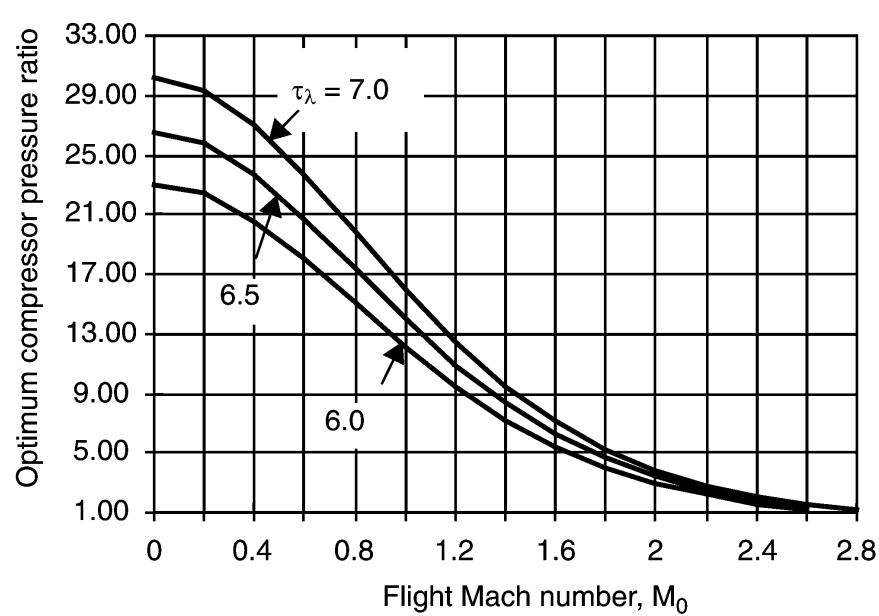






La relazione precedente può essere riscritta in termini di rapporto di pressione ottimo (per aumentare la spinta):

$$\pi_{c.max.F} = \left(\frac{\sqrt{\tau_{\lambda}}}{\tau_r}\right)^{\frac{1}{k}} = \left(\frac{\sqrt{\tau_{\lambda}}}{\psi_0}\right)^{\frac{1}{k}} = \left(\frac{\sqrt{\tau_{\lambda}}}{1 + \frac{\gamma - 1}{2}M_0^2}\right)^{\frac{1}{k}}$$

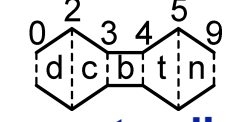




Propulsione Aerospaziale – PA3 Ciclo TJ - astarita@unina.it

56

#### Rendimento del ciclo ideale



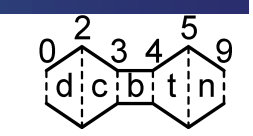
La relazione precedente può essere riscritta in termini di rapporto di pressione ottimo (per aumentare la spinta):

$$\pi_{c.max.F} = \left(\frac{\sqrt{\tau_{\lambda}}}{\tau_r}\right)^{\frac{1}{k}} = \left(\frac{\sqrt{\tau_{\lambda}}}{\psi_0}\right)^{\frac{1}{k}} = \left(\frac{\sqrt{\tau_{\lambda}}}{1 + \frac{\gamma - 1}{2}M_0^2}\right)^{\frac{1}{k}}$$

Se si impone che il rapporto di pressioni ottimo sia unitario (i.e. compressore assente) si puo determinare il minimo numero di Mach di volo per cui un RamJet diventa più efficiente di un turbo getto:

$$M_{0.max} = \sqrt{\frac{2}{\gamma - 1} \left( \sqrt{\tau_{\lambda}} - 1 \right)}$$

Per aria si ha  $M_{0.max}=2.78$  e 2.87 per  $\tau_{\lambda}$  rispettivamente uguale a 6.5 e 7.



Riprendendo l'equazione  $\tau_c \tau_r = \sqrt{\tau_{\lambda}}$  si ha:

$$\sqrt{\tau_{\lambda}} = \sqrt{\frac{T_{t4}}{T_0}} = \sqrt{\frac{T_{t4}}{T_9} \frac{T_9}{T_0}}$$

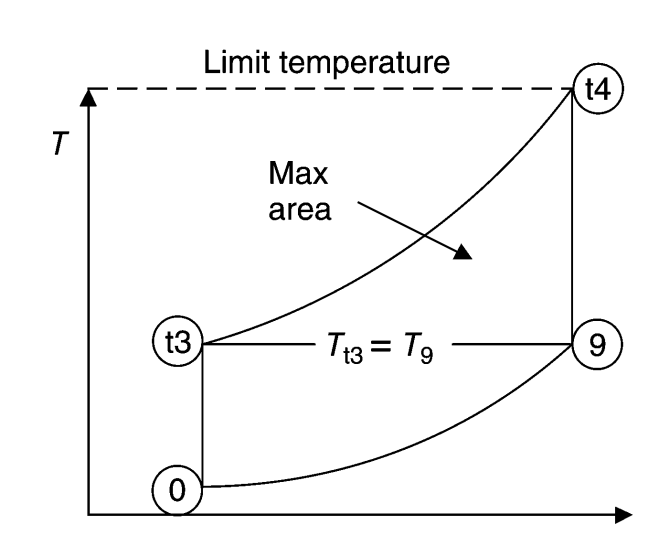
Per un ciclo ideale:  $\frac{T_{t4}}{T_9} = \left(\frac{p_{t4}}{p_9}\right)^k = \left(\frac{p_{t3}}{p_0}\right)^k = \frac{T_{t3}}{T_0}$  da cui:

$$\sqrt{\tau_{\lambda}} = \sqrt{\frac{T_{t4}}{T_9} \frac{T_9}{T_0}} = \sqrt{\frac{T_{t3}}{T_0} \frac{T_9}{T_0}}$$

Quindi:

$$\tau_c \tau_r = \frac{T_{t3}}{T_{t2}} \frac{T_{t2}}{T_0} = \frac{T_{t3}}{T_0} = \sqrt{\frac{T_{t3}}{T_0} \frac{T_9}{T_0}} = \sqrt{\tau_\lambda}$$

$$T_{t3} = \sqrt{T_{t3}T_9} \qquad \rightarrow \qquad T_{t3} = T_9$$

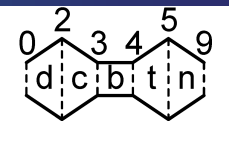




Propulsione Aerospaziale – PA3 Ciclo TJ - astarita @unina.it

58

### Rendimento del ciclo ideale



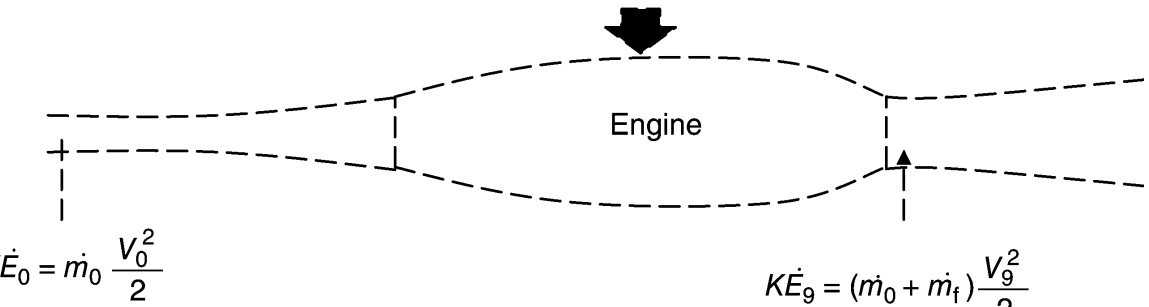
Se le seguenti ipotesi sono verificate:

- f sia trascurabile;
- componenti ideali (reversibili);
- espansione corretta:

Si può dimostrare che la relazione per il rendimento termico, trovata in precedenza, coincide con la definizione termodinamica del rendimento termico:

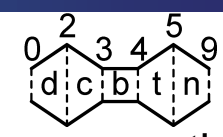
$$\eta_{th} = \frac{\Delta K \dot{E}}{\mathcal{P}_t} = \frac{(1+f)V_9^2 - V_0^2}{2fQ_R} \qquad \to \qquad = 1 - \frac{T_0}{T_{t3}} = \eta_{th}$$

Thermal power investment,  $\dot{m}_{\rm f}Q_{\rm R}$ 





# Ricapitolando



Nella **progettazione preliminare** alcuni parametri sono assegnati mentre altri vengono derivati. **Una scelta possibile** (a sinistra della freccia quelli assegnati a destra quelli ricavati):

- Parametri di volo:  $M_0$ ,  $T_0$ ,  $T_{t4}$ ,  $c_p$ ,  $\gamma$ ,  $c_{p_t} = c_{p9}$ ,  $\gamma_t = \gamma_9 \rightarrow \tau_\lambda$ ;
- Presa d'aria:  $\eta_d \to \pi_d, \pi_r$ ;
- Compressore:  $e_c$ ,  $\pi_c \rightarrow \tau_c$ ,  $\eta_c$ ;
- Camera di combustione: $\eta_b, \pi_b, Q_R \to f, \tau_b$ ;
- Turbina:  $e_t, \eta_m \to \tau_t, \pi_t, \eta_t$ ;
- Ugello:  $\pi_n$ ,  $p_0/p_9 \rightarrow \eta_n$ .

Si suppone inoltre che:

 $\bullet \quad \tau_d = \tau_n = 1.$ 

Nel caso ideale si suppone che il gas sia sempre lo stesso e che:

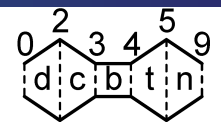
- tutte le trasformazioni siano reversibili;
- $p_0 = p_9$ ;
- $(f+1) \to 1, \pi_h = 1.$



Propulsione Aerospaziale – PA3 Ciclo TJ - astarita @unina.it

60

# Valutazione della spinta e degli indici di prestazione



Per calcolare gli **indici di prestazioni** si deve procedere a calcolare i parametri del ciclo componente per componente.

La spinta specifica è:  $\frac{F_u}{\dot{m}_0} = (1+f)V_9 - V_0 + \frac{(p_9 - p_0)A_9}{\dot{m}_0}$ 

dove la  $\dot{m}_0$  può essere messa nella forma:

$$\dot{m}_0 = \frac{\dot{m}_9}{1+f} = \frac{\rho_9 V_9 A_9}{1+f} = \frac{p_9 V_9 A_9}{R_9 T_9 (1+f)}$$

$$\frac{F_u}{\dot{m}_0} = (1+f)V_9 - V_0 + \frac{R_9 T_9 (1+f)}{V_9} \left(1 - \frac{p_0}{p_9}\right)$$

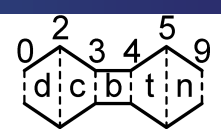
$$= (1+f)V_9 \left[ 1 + \frac{1}{\gamma_9 M_9^2} \left( 1 - \frac{p_0}{p_9} \right) \right] - V_0 \qquad V_{9.e} = V_9 \left[ 1 + \frac{1}{\gamma_9 M_9^2} \left( 1 - \frac{p_0}{p_9} \right) \right]$$

$$\frac{F_u}{\dot{m}_0 a_0} = (1+f) \frac{V_9}{a_0} \left( 1 + \frac{1 - \frac{p_0}{p_9}}{\gamma_9 M_9^2} \right) - M_0$$

dove i parametri ancora incogniti sono  $\frac{V_9}{a_0}$ ,  $M_9$  e f.



# Valutazione della spinta e degli indici di prestazione



Il primo può essere calcolato come:

$$\frac{V_9}{a_0} = \frac{M_9 a_9}{a_0} = M_9 \sqrt{\frac{\gamma_9 R_9 T_9}{\gamma R T_0}}$$

Ricordando i simboli ( $\theta$  rispetto alla temperatura all'infinito a monte):

$$k = \frac{\gamma - 1}{\gamma}$$

$$k_9 = \frac{\gamma_9 - 1}{\gamma_9}$$

$$k = \frac{\gamma - 1}{\gamma}$$
  $k_9 = \frac{\gamma_9 - 1}{\gamma_9}$   $\psi = 1 + \frac{\gamma - 1}{2}M^2 = \frac{T_t}{T}$ 

Si ha:

$$\frac{T_{t9}}{T_9} = \left(\frac{p_{t9}}{p_9}\right)^{k_9} = \psi_9$$

$$\frac{T_{t9}}{T_9} = \left(\frac{p_{t9}}{p_9}\right)^{k_9} = \psi_9 \qquad \to \qquad M_9^2 = \frac{2}{\gamma_9 - 1} \left[ \left(\frac{p_{t9}}{p_9}\right)^{k_9} - 1 \right]$$

$$\frac{p_{t9}}{p_9} = \pi_n \pi_t \pi_b \pi_c \pi_d \pi_r \frac{p_0}{p_9} \qquad \pi_r = \psi_0^{1/k}$$

$$\pi_r = \psi_0^{1/k}$$

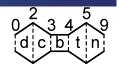
dove  $\pi_n, \pi_b, \pi_c, \pi_d$  e  $p_0/p_9$  sono dati di input, mentre  $\pi_t$  si determinare.



Propulsione Aerospaziale – PA3 Ciclo TJ - astarita@unina.it

62

# Valutazione della spinta e degli indici di prestazione



Il rapporto di temperature:

$$\frac{T_9}{T_0} = \frac{T_9}{T_{t9}} \frac{T_{t9}}{T_0} = \frac{\theta_9}{\left(\frac{p_{t9}}{p_9}\right)^{k_t}}$$

$$\frac{T_9}{T_0} = \frac{T_9}{T_{t9}} \frac{T_{t9}}{T_0} = \frac{\theta_9}{\left(\frac{p_{t9}}{n}\right)^{k_t}} \qquad \theta_9 = \frac{T_{t9}}{T_{t5}} \tau_t \frac{T_{t4}}{T_0} = \tau_t \tau_\lambda \frac{c_p}{c_{pt}}$$

Come già detto nella CC:

$$f = \frac{\tau_{\lambda} - \tau_{c}\tau_{r}}{Q_{R}\eta_{b}/(c_{p}T_{0}) - \tau_{\lambda}} \qquad \tau_{b} = \frac{\tau_{\lambda}}{\tau_{c}\tau_{r}}$$

$$\tau_b = \frac{\tau_\lambda}{\tau_c \tau_r}$$

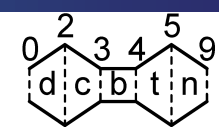
Mentre dalla turbina e nel compressore si ha:

$$\tau_t = 1 - \frac{(\tau_c - 1)\tau_r}{\eta_m(1 + f)\tau_\lambda} \qquad \quad \pi_t = \tau_t^{\frac{1}{k_9}e_t} \qquad \quad \tau_c = \pi_c^{\frac{k}{e_c}}$$

$$\pi_t = \tau_t^{\frac{1}{k_9 e_t}}$$

$$\tau_c = \pi_c^{\frac{k}{e_c}}$$

# Valutazione della spinta e degli indici di prestazione



Infine nella presa d'aria:

$$au_r = \theta_0 = \frac{T_{t0}}{T_0} = \psi_0$$

$$au_d = \left(\frac{1 + \eta_d \frac{\gamma - 1}{2} M_0^2}{1 + \frac{\gamma - 1}{2} M_0^2}\right)^{1/k}$$

Che completa la ricerca dei parametri incogniti.

Se necessario si possono calcolare anche i rendimenti:

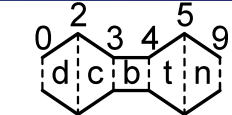
$$\begin{split} \eta_t &= \frac{1 - \tau_t}{1 - \tau_\tau^{\frac{1}{e_t}}} \qquad \eta_c = \frac{\pi_c^k - 1}{\tau_c - 1} \qquad TSFC = \frac{f}{F_u/\dot{m}_0} \\ \eta_{th} &= \frac{\Delta K \dot{E}}{\mathcal{P}_t} = \frac{(1 + f)V_9^2 - V_0^2}{2fQ_R} = \frac{a_0^2 [(1 + f)(V_9/a_0)^2 - M_0^2]}{2fQ_R} \\ \eta_p &= \frac{F_i V_0}{\Delta K \dot{E}} \approx \frac{2F_u V_0/\dot{m}_0}{a_0^2 [(1 + f)(V_9/a_0)^2 - M_0^2]} \end{split}$$



Propulsione Aerospaziale – PA3 Ciclo TJ - astarita@unina.it

64

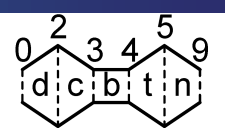
# Valutazione della spinta e degli indici di prestazione



Per tenere in conto di una eventuale non corretta espansione nell'ugello si deve utilizzare la **velocità effettiva** nel calcolo dei rendimenti:

$$V_{9.e} = V_9 \left[ 1 + \frac{1 - \frac{p_0}{p_9}}{\gamma_9 M_9^2} \right]$$

$$\frac{F_u}{\dot{m}_0 a_0} = (1+f) \frac{V_9}{a_0} \left( 1 + \frac{1 - \frac{p_0}{p_9}}{\gamma_9 M_9^2} \right) - M_0 = (1+f) \frac{V_{9.e}}{a_0} - M_0$$



Nell'ipotesi di ciclo ideale si ha:

$$\gamma_9 = \gamma$$
  $\tau_t = \pi_t^{k_9}$   $\tau_c = \pi_c^k$   $\pi_d = \pi_n = \pi_b = 1$ 

$$\dot{m}_0 \approx \dot{m}_9$$
  $\rightarrow$   $1 + f \rightarrow 1$   $p_9 = p_0$ 

Quindi i parametri sono:

- Parametri di volo:  $M_0$ ,  $T_0$ ,  $T_{t4}$ ,  $c_p$ ,  $\gamma \rightarrow \tau_{\lambda}$ ;
- Presa d'aria:  $\rightarrow \pi_r$ ;
- Compressore:  $\pi_c \rightarrow \tau_c$ ;
- Camera di combustione: $Q_R \to f$ ,  $\tau_b$ ;
- Turbina:  $\rightarrow \tau_t, \pi_t$ ;

La spinta è:

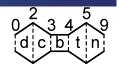
$$\frac{F_u}{\dot{m}_0 a_0} = (1+f) \frac{V_9}{a_0} \left( 1 + \frac{1 - \frac{p_0}{p_9}}{\gamma_9 M_9^2} \right) - M_0 = \frac{V_9}{a_0} - M_0$$



Propulsione Aerospaziale – PA3 Ciclo TJ - astarita@unina.it

66

# Valutazione della spinta caso ideale



$$\frac{F_u}{\dot{m}_0 a_0} = \frac{V_9}{a_0} - M_0$$

Riprendendo le equazioni precedenti:

$$\frac{V_9}{a_0} = \frac{M_9 a_9}{a_0} = M_9 \sqrt{\frac{T_9}{T_0}} \qquad \frac{p_{t9}}{p_9} = \sqrt{\frac{1}{n}} \pi_t \sqrt{\frac{1}{n}} \pi_c \sqrt{\frac{1}{n}} \frac{p_0}{p_9} = \pi_t \pi_c \pi_r$$

$$M_9^2 = \frac{2}{\gamma - 1} \left[ \left( \frac{p_{t9}}{p_9} \right)^k - 1 \right] = \frac{2}{\gamma - 1} \left[ (\pi_t \pi_c \pi_r)^k - 1 \right] = \frac{2}{\gamma - 1} (\tau_t \tau_c \tau_r - 1)$$

$$\frac{T_9}{T_0} = \frac{T_9}{T_{t9}} \frac{T_{t9}}{T_0} = \frac{\theta_9}{\left(\frac{p_{t9}}{p_9}\right)^k} = \frac{\theta_9}{\tau_t \tau_c \tau_r} = \frac{\overbrace{T_{t9}}^{\lambda = \theta_9 / \tau_t}}{T_0} \frac{1}{T_{t5}} \frac{1}{\tau_c \tau_r} = \frac{\tau_{\lambda}}{\tau_c \tau_r} = \tau_b$$

$$\frac{F_u}{\dot{m}_0 a_0} = \sqrt{\frac{2}{\gamma - 1} \frac{\tau_\lambda}{\tau_c \tau_r}} (\tau_t \tau_c \tau_r - 1) - M_0$$



$$\tau_b = \frac{\tau_\lambda}{\tau_c \tau_r}$$



$$\frac{F_u}{\dot{m}_0 a_0} = \sqrt{\frac{2}{\gamma - 1} \frac{\tau_\lambda}{\tau_c \tau_r} (\tau_t \tau_c \tau_r - 1)} - M_0$$

inoltre:

$$\tau_t = 1 - \frac{(\tau_c - 1)\tau_r}{\eta_m(1 + f)\tau_\lambda} = 1 - \frac{(\tau_c - 1)\tau_r}{\tau_\lambda}$$

La spinta può essere manipolata:

$$\frac{\tau_{\lambda}}{\tau_{c}\tau_{r}}(\tau_{t}\tau_{c}\tau_{r}-1) = \frac{\tau_{\lambda}}{\tau_{c}\tau_{r}}\left(\left(1 - \frac{(\tau_{c}-1)\tau_{r}}{\tau_{\lambda}}\right)\tau_{c}\tau_{r}-1\right) =$$

$$= \tau_{\lambda} - \tau_{c}\tau_{r} + \tau_{r} + \left(\frac{\tau_{\lambda}}{\tau_{c}} - \frac{\tau_{\lambda}}{\tau_{c}}\right) - \frac{\tau_{\lambda}}{\tau_{c}\tau_{r}} = \frac{\tau_{\lambda}}{\tau_{c}}(\tau_{c} - 1) - \tau_{r}(\tau_{c} - 1) + \tau_{b}(\tau_{r} - 1)$$

$$= \left(\frac{\tau_{\lambda}}{\tau_{c}} - \tau_{r}\right)(\tau_{c} - 1) + \tau_{b}(\tau_{r} - 1) = \tau_{r}(\tau_{b} - 1)(\tau_{c} - 1) + \tau_{b}(\tau_{r} - 1)$$

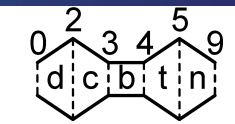


Propulsione Aerospaziale – PA3 Ciclo TJ - astarita @unina.it

68

# Valutazione della spinta caso ideale

$$\tau_b = \frac{\tau_\lambda}{\tau_c \tau_r}$$



$$\frac{\tau_{\lambda}}{\tau_c\tau_r}(\tau_t\tau_c\tau_r-1)=\tau_r(\tau_b-1)(\tau_c-1)+\tau_b(\tau_r-1)$$

ma:

$$\tau_r = \psi_0 = 1 + \frac{\gamma - 1}{2} M_0^2 \qquad \to \qquad (\tau_r - 1) = \frac{\gamma - 1}{2} M_0^2$$

La spinta diventa:

$$\frac{F_u}{\dot{m}_0 a_0} = \sqrt{\frac{2}{\gamma - 1} \tau_r (\tau_b - 1)(\tau_c - 1) + \tau_b M_0^2 - M_0}$$

In questa forma è chiaro che:

- se  $\tau_h \to 1$ , ovvero non c'è combustione, la spinta è nulla;
- se τ<sub>c</sub> → 1 si ricade nel caso del RamJet:

$$\frac{F_u}{\dot{m}_0 a_0} = M_0 \left( \sqrt{\tau_b} - 1 \right);$$



$$\tau_b = \frac{\tau_\lambda}{\tau_c \tau_r}$$



$$\frac{F_u}{\dot{m}_0 a_0} = \sqrt{\frac{2}{\gamma - 1} \tau_r (\tau_b - 1)(\tau_c - 1) + \tau_b M_0^2} - M_0$$

Inoltre:

$$f = \frac{\tau_{\lambda} - \tau_{c} \tau_{r}}{Q_{R} \eta_{b} / (c_{p} T_{0}) - \tau_{\lambda}} = \frac{\tau_{\lambda} - \tau_{c} \tau_{r}}{Q_{R} / (c_{p} T_{0})} = \frac{c_{p} T_{0}}{Q_{R}} (\tau_{\lambda} - \tau_{c} \tau_{r})$$

dove si è trascurato  $f \tau_{\lambda}$  rispetto a  $\tau_{\lambda}$ . Quindi:

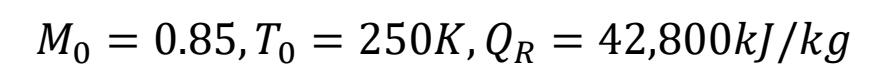
$$TSFC = \frac{f}{F_u/\dot{m}_0} = \frac{\frac{c_p T_0}{a_0 Q_R} (\tau_{\lambda} - \tau_c \tau_r)}{\sqrt{\frac{2}{\gamma - 1} \tau_r (\tau_b - 1)(\tau_c - 1) + \tau_b M_0^2 - M_0}}$$

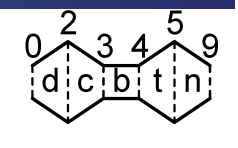


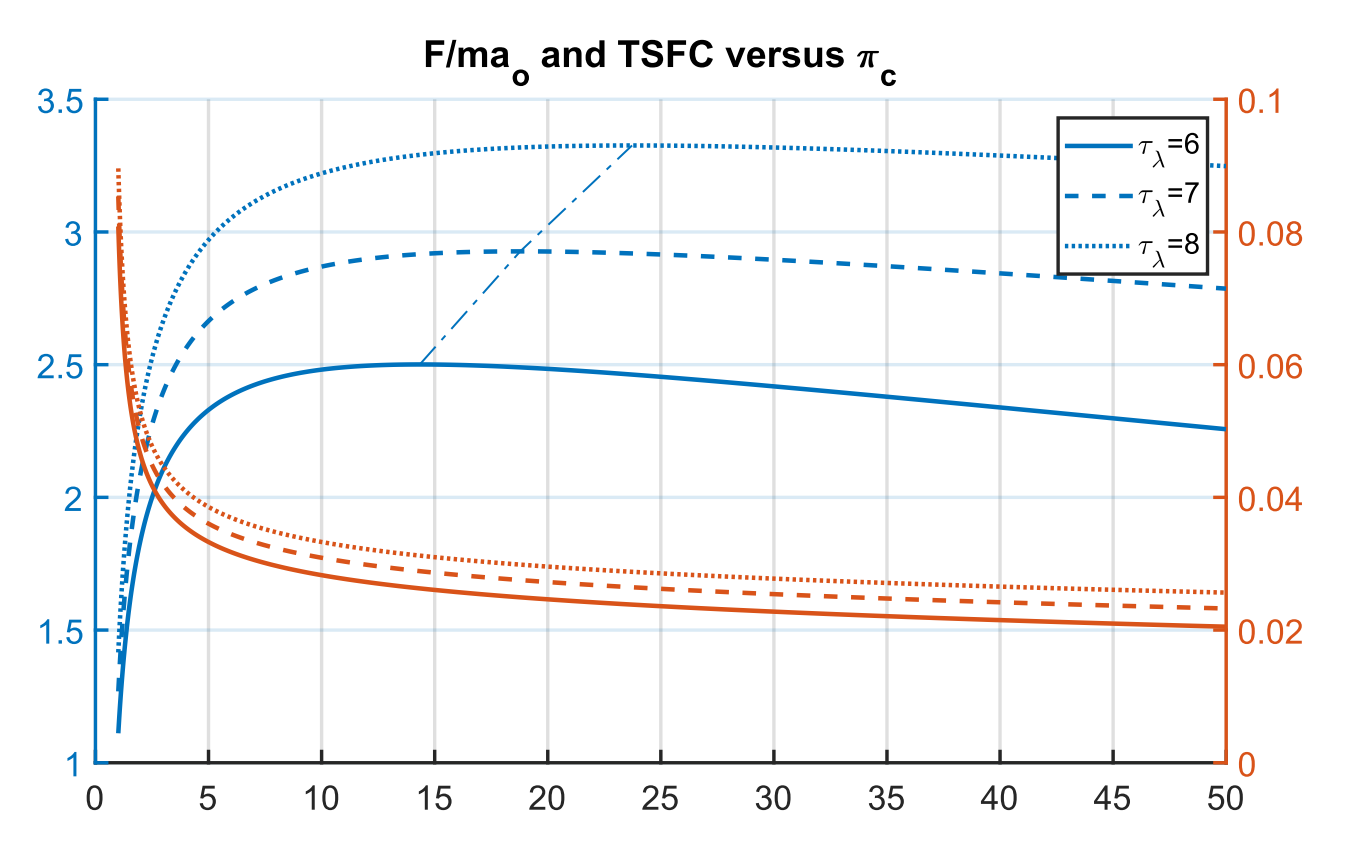
Propulsione Aerospaziale – PA3 Ciclo TJ - astarita @unina.it

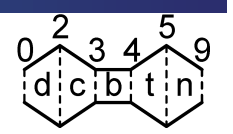
#### 70

# Valutazione della spinta caso ideale



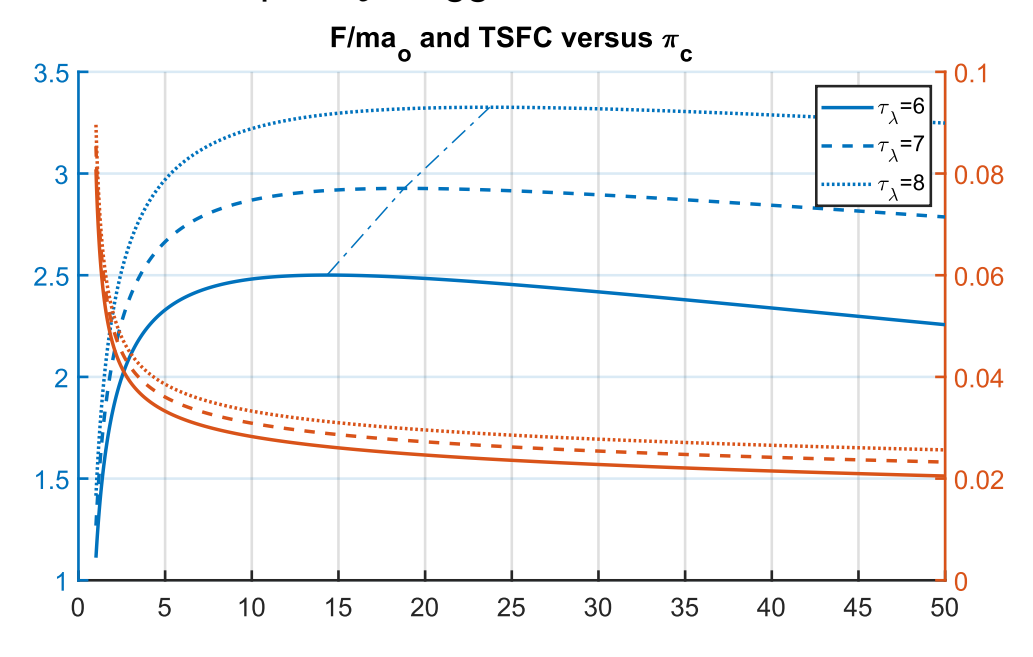






### Dalla figura si nota:

- All'aumentare di  $\tau_{\lambda}$  aumentano sia la spinta specifica che il consumo specifico;
- Come già visto la curva della spinta ha un massimo, viceversa il consumo specifico ha un minimo per  $\pi_c$  maggiore;

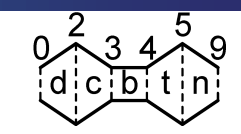




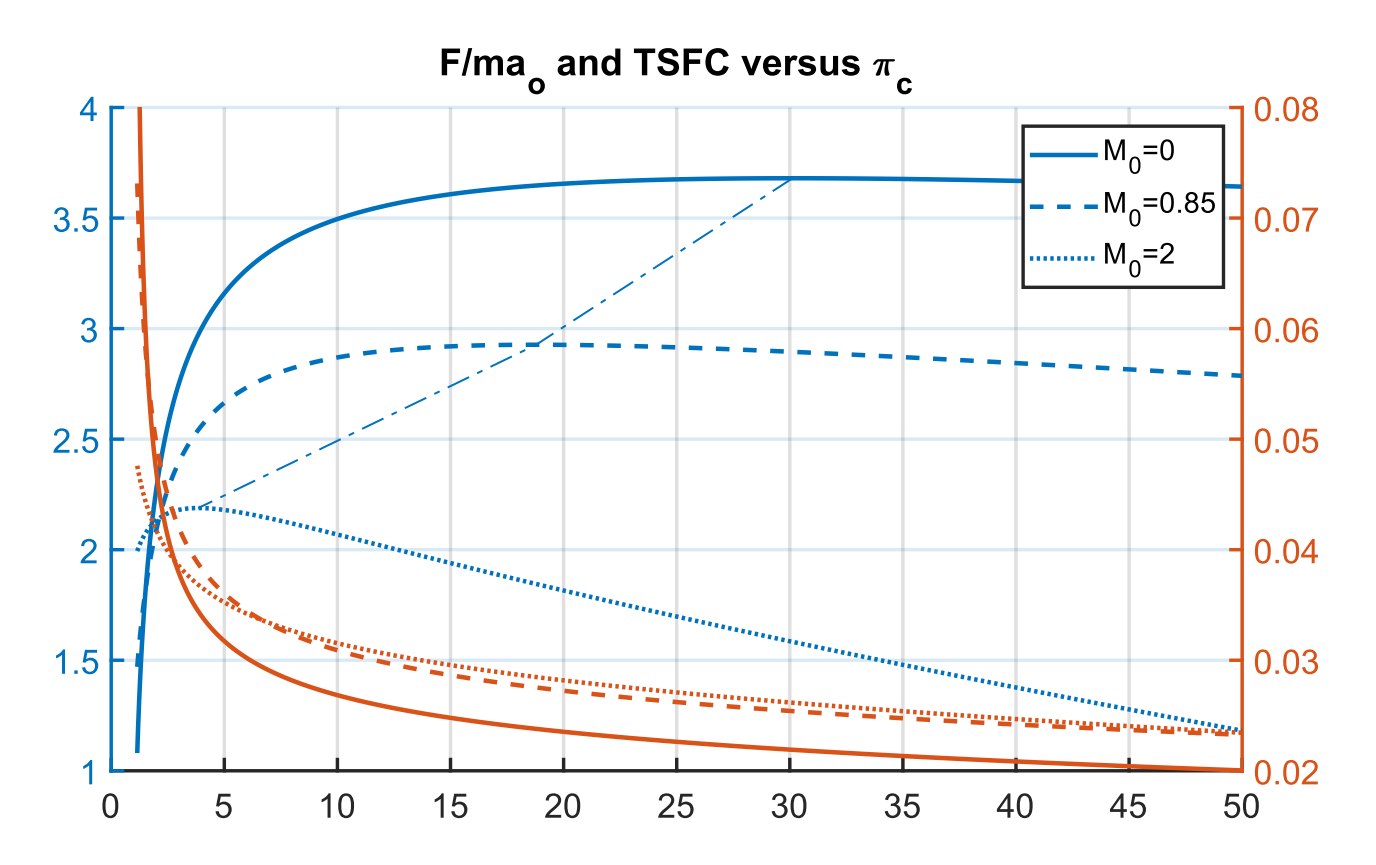
Propulsione Aerospaziale - PA3 Ciclo TJ - astarita@unina.it

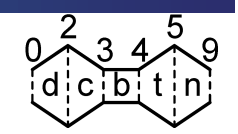
72

# Valutazione della spinta caso ideale



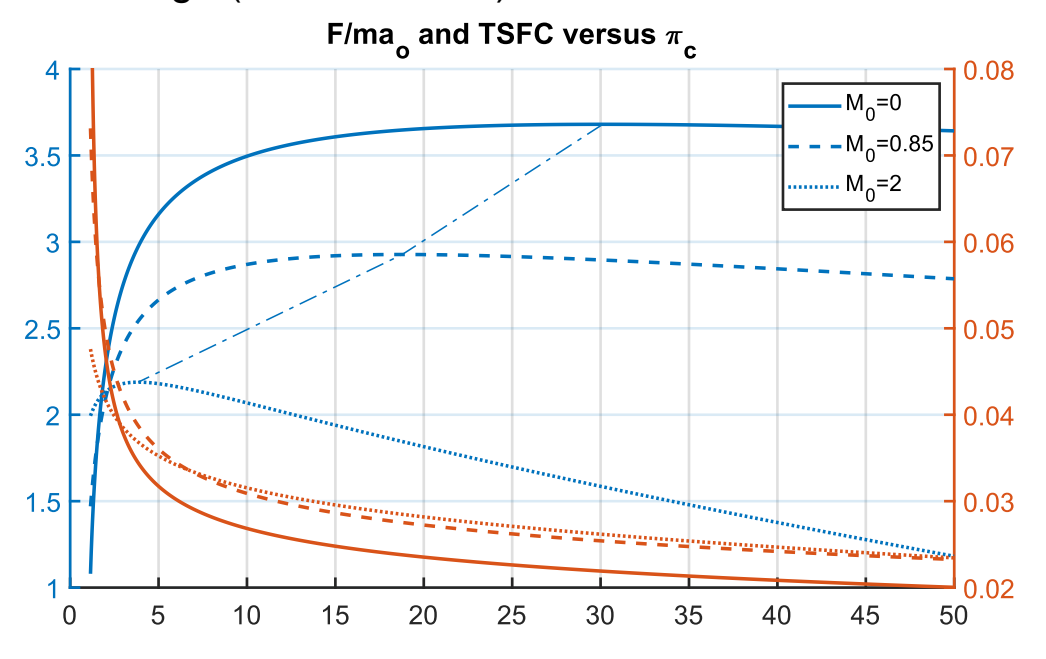
$$T_{t4} = 1750K, T_0 = 250K, Q_R = 42,800kJ/kg$$





#### Dalla figura si nota:

- All'aumentare del numero di Mach di volo il massimo della spinta specifica si sposta a sinistra;
- La spinta tende a zero per alti valori di  $\pi_c$  ma nel caso ideale il consumo specifico non diverge (f tende a zero).

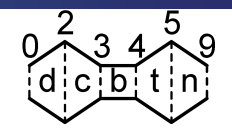




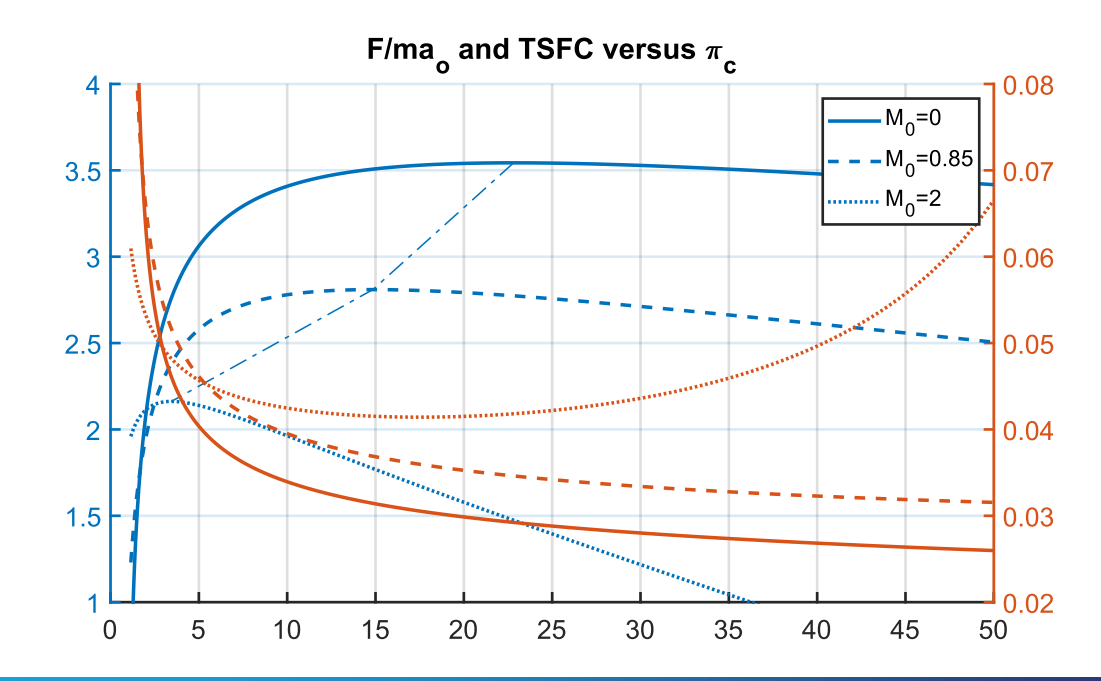
Propulsione Aerospaziale – PA3 Ciclo TJ - astarita @unina.it

74

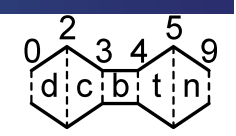
# Valutazione della spinta



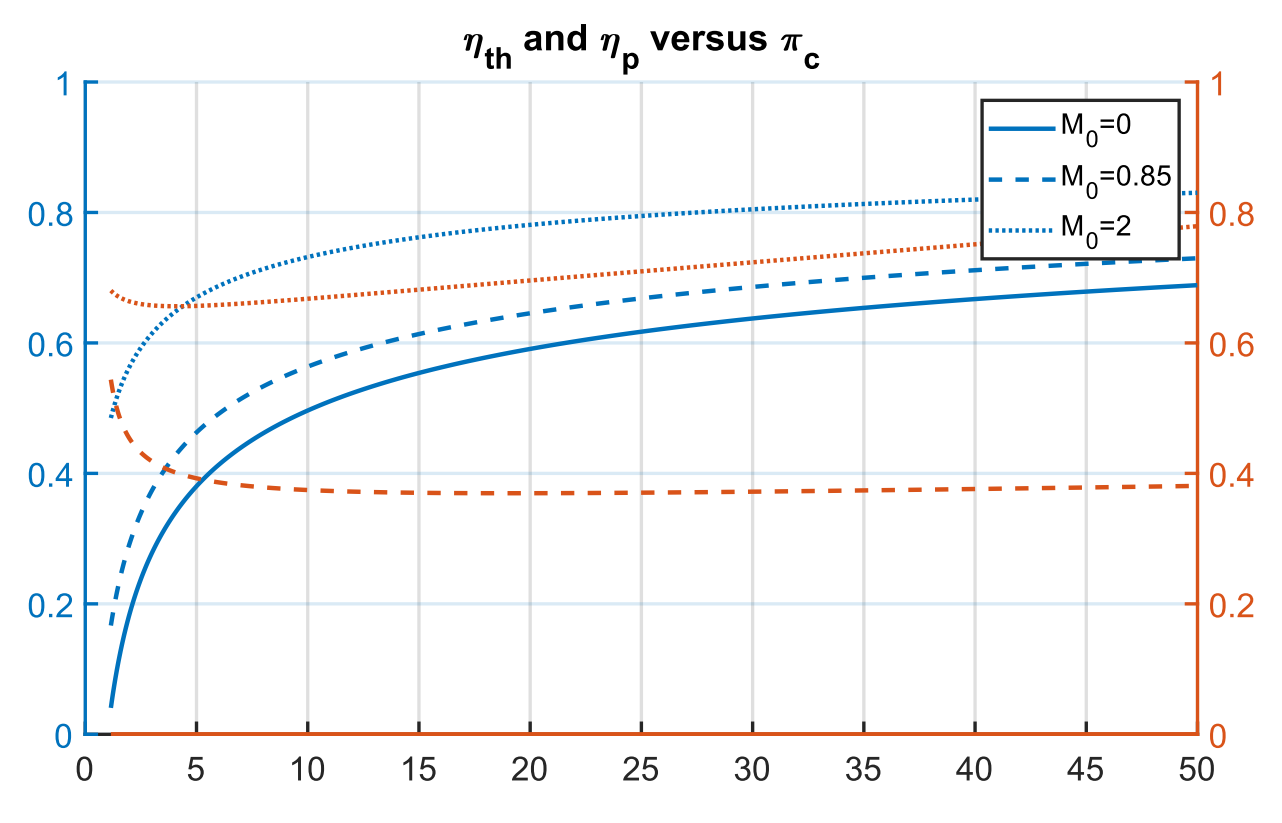
Nel caso reale, l'introduzione delle perdite, comportare una contenuta diminuzione della spinta ed un aumento del consumo specifico (ed una divergenza per alti  $\pi_c$ ).







$$T_{t4} = 1750K$$
,  $T_0 = 250K$ ,  $Q_R = 42,800kJ/kg$ 

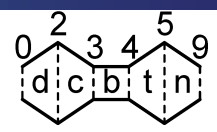




Propulsione Aerospaziale – PA3 Ciclo TJ - astarita @unina.it

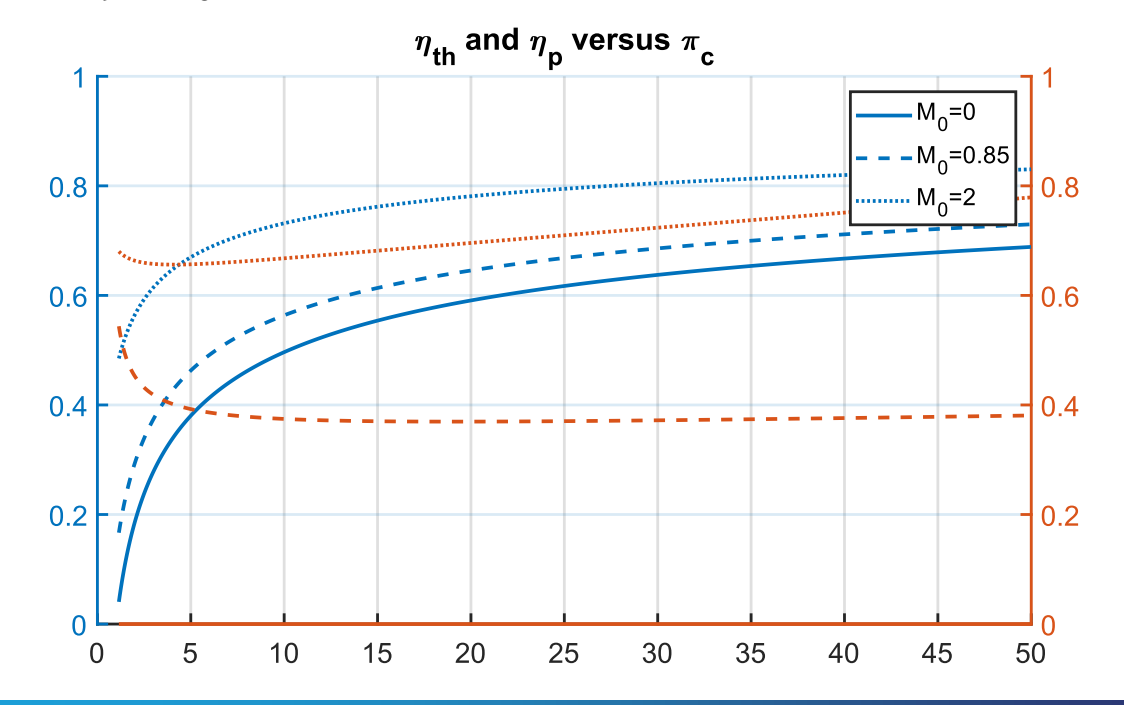
76

# Valutazione della spinta caso ideale

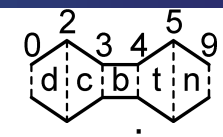


Il rendimento termico aumenta con il rapporto di compressione mentre quello propulsivo ha un minimo. Il rendimento complessivo aumenta.

$$\eta_p = \frac{F_i V_0}{\Delta K \dot{E}} \cong \frac{2V_0}{V_9 + V_0}$$



# Valutazione della spinta



Chiaramente nel caso reale il rendimento termico peggiora significativamente.

